

پایدارسازی و سنکرون‌سازی ریزشبکه جزیره‌ای با حضور خطا و حمله سایبری سنسوری و عملگری با طراحی کنترل کننده ثانویه

عبدالله میرزابیگی^۱، علی کاظمی^۲، مهدی رمضانی^۳ و سیدمحمد عظیمی^۴

- $x(t)$: حالت سیستم بدون حمله
- $x^*(t)$: میانگین پارامتر (t)
- G : ماتریس اتصال به اسلک^۱
- L : ماتریس لاپلاسین^۲
- g_i : بهره اتصال^۳
- a_{ij} : درایه‌های ماتریس مجاورت^۴
- P_i : توان اکتیو متوسط
- Q_i : توان راکتیو متوسط
- \tilde{p}_i : توان اکتیو لحظه‌ای
- \tilde{q}_i : توان راکتیو لحظه‌ای
- DG_i : ولتاژ خروجی DG_i
- ω_{oi} : فرکانس زاویه‌ای خروجی DG_i
- i_{oi} : جریان خروجی DG_i
- V_{ni}^* : ولتاژ خروجی کنترل کننده ثانویه
- ω_{ni}^* : فرکانس خروجی کنترل کننده ثانویه
- v_{oi}^* : ولتاژ خروجی کنترل کننده اولیه
- ω_{oi}^* : خروجی فرکانس زاویه‌ای کنترل کننده اولیه
- f : فرکانس
- ω_{com} : فرکانس زاویه‌ای در چارچوب معمول
- i : جریان خروجی بار
- ω_c : فرکانس قطع فیلتر پایین‌گذر
- v_{ref} : ولتاژ مرجع
- ω_{ref} : فرکانس زاویه‌ای مرجع
- v_b : ولتاژ بارس
- u_v : سیگنال کنترل کمکی^۵ ولتاژ
- u_w : سیگنال کنترل کمکی فرکانس
- C_v : بهره کنترلی ولتاژ
- m_{p_i} : ضریب دروب فرکانس
- n_{qi} : ضریب دروب ولتاژ
- δ : سیگنال عدم تطابق
- e_{vi} : خطای ردیابی محلی ولتاژ
- e_{oi} : خطای ردیابی محلی^۶ فرکانس
- ϕ : متغیر کمکی کنترل کننده ولتاژ

2. Slack Bus

3. Pinning Gain

4. Adjacency Matrix

5. Auxiliary Control

6. The Local Neighborhood Tracking Error

چکیده: در بسیاری از روش‌های کنترلی ریزشبکه برای پایداری و سنکرون‌سازی ولتاژ و فرکانس از اطلاعات خروجی سنسورها و عملگرها منابع تولید پراکنده همچو انتقاده می‌شود. بسیاری از مشکلات مانند اختلالات، عدم قطعیت، دینامیک مدل نشده، حملات سایبری، نویز، تأخیر و خطاها اندازه‌گیری، مشکلات داده نامعتبر و خطا را در سیستم ایجاد می‌کند. کنترل بهتر ریزشبکه به کیفیت داده‌های اندازه‌گیری شده و یا ارسال شده از خروجی سنسورها و عملگرها بستگی دارد. در این مقاله با توجه به مزیت‌های روش کنترلی سلسه‌مراقبی توزیع شده اشتراکی^۱ از آن برای کنترل و سنکرون‌سازی در ریزشبکه جزیره‌ای با حضور خطا سنسوری و عملگری استفاده می‌گردد. برای سنکرون‌سازی منابع تولید پراکنده با سیستم‌های چندعامله و شبکه ارتباطی با تئوری گراف مدل می‌گردد. بهمنظور پایدارسازی و سنکرون‌سازی، خطای سنسوری و عملگری در مدل منابع تولید پراکنده فرمول بندی ریاضی می‌شود. در اثبات پایداری و سنکرون‌سازی تابع لیاپانوف مناسب ارائه شده و شرایط پایداری و سنکرون‌سازی اثبات می‌گردد. در نهایت برای نشان دادن کارایی کنترل کننده طراحی شده در حل مشکلات کانال ارتباطی و تأیید تئوری ارائه شده، یک مدل نمونه با وجود خطا و حمله سایبری سنسوری و عملگری در محیط نرم‌افزار متلب/سیمولینک شبیه‌سازی می‌شود.

کلیدواژه: ریزشبکه، خطای سنسوری و عملگری، حمله سایبری سنسوری و عملگری، سیستم‌های چندعامله، کنترل سلسه‌مراقبی توزیع شده اشتراکی، سنکرون‌سازی، پایداری لیاپانوف.

اختصارات

- x_{dq} : پارامتر x در مرجع
- dq : مؤلفه مرجع q
- x_q : مؤلفه d مرجع
- A_G : ماتریس انتقال در گراف
- $E(G)$: ماتریس لینک ارتباطی
- A : ماتریس سیستم

این مقاله در تاریخ ۱۳ آذر ماه ۱۴۰۱ دریافت و در تاریخ ۳ خرداد ماه ۱۴۰۲ بازنگری شد.

عبدالله میرزابیگی، دانشکده مهندسی برق، مؤسسه آموزش عالی جهاد دانشگاهی

همدان، همدان، ایران، (email: mirzabeigi@acecr.ac.ir).

علی کاظمی (نویسنده مسئول)، دانشکده مهندسی برق، دانشگاه تفرش، تفرش، ایران، (email: kazemy@tafreshhu.ac.ir).

مهدی رمضانی، دانشکده ریاضی، دانشگاه تفرش، تفرش، ایران، (email: ramezani@tafreshhu.ac.ir).

سیدمحمد عظیمی، دانشکده مهندسی برق، دانشگاه صنعتی همدان، همدان، ایران، (email: azimi@hut.ac.ir).

1. The Cooperative Distributed Hierarchical Control

مرجع برابر باشد و یا به عبارتی سنکرون‌سازی انجام پذیرد [۲] تا [۴]. استفاده از لینک‌های مخابراتی بهمنظور کنترل بهتر در کنترل کننده توزیع شده سلسه‌مراتبی، مسأله‌ای بسیار ضروری است. هنگامی که از لینک‌های مخابراتی استفاده می‌شود، اختلالات مختلف سبب برهم‌خوردان تنظیم و سنکرون‌سازی فرکانس و ولتاژ DG‌ها می‌شود. از جمله اختلالات نویز، اغتشاش، دینامیک مدل نشده، تأخیر، تداخل‌های الکترومغناطیسی، خطاهای سنسوری و عملگری، از بین رفتن اطلاعات، حملات سایبری و اختلال در دسترسی است. کنترل و سنکرون‌سازی ریزشبکه‌ها حد زیادی به کیفیت داده‌های دریافتی از سنسورها و عملگرها بستگی دارد. برای رفع این مشکلات، ساختارهای مختلف کنترلی در ریزشبکه‌ها مورد استفاده قرار گیرد که اغلب نیاز به اطلاعات از واحدهای همچوار و ارسال آنها با استفاده از لینک‌های ارتباطی و مقایسه با همدیگر دارند. رفع مشکلات کانال‌های ارتباطی مسأله مهمی است که در استفاده از کنترل کننده‌ها باید مورد توجه قرار گیرد تا با انتقال داده‌های باکیفیت بتوان پایدارسازی و سنکرون‌سازی بهتری انجام داد.

برای کنترل منابع تولید پراکنده، سه روش کنترلی وجود دارد: ۱) کنترل متتمرکز^۱، ۲) کنترل غیرمتتمرکز^۲ و ۳) کنترل توزیع شده^۳ [۱]. کنترل کننده متتمرکز از یک کنترل کننده مرکزی استفاده می‌کند و اطلاعات همه منابع به این کنترل کننده، ارسال و کنترل به صورت یکپارچه انجام می‌شود و به شبکه ارتباطی نیاز دارد. در کنترل کننده غیرمتتمرکز برای هر منبع، کنترل کننده جداگانه طراحی شده و نیازی به شبکه ارتباطی ندارد. در کنترل کننده توزیع شده برای هر واحد، کنترل کننده مجزا طراحی شده و از اطلاعات واحدهای همچوار نیز استفاده می‌کند و برای انتقال اطلاعات به سیستم‌های ارتباطی نیاز است [۵].

یکی از اساسی‌ترین مسائل در کنترل و سنکرون‌سازی بهتر منابع تولید پراکنده، کیفیت داده‌های دریافتی از سنسورهاست. برای سنکرون‌سازی و کنترل بهتر، روش‌هایی که از خروجی منابع همچوار استفاده می‌کنند، نتایج بهتری می‌دهند. در این حالت کیفیت داده به دقت اندازه‌گیری سنسورها و همچنین حل مشکلات کانال‌های ارتباطی بستگی دارد. مشکلات کانال ارتباطی در مراجع مختلفی آمده است. در [۶] حمله سایبری به سنسورها و عملگرها بر روی سیستم‌های چندعامله^۴ بحث گردیده است؛ اما از مدل خطی یک سیستم چندعامله استفاده شده و فقط مبحث پایداری مورد مطالعه قرار گرفته و به سنکرون‌سازی سیستم توجهی نشده است. در [۷] تا [۹] اثر حمله DoS و نحوه شناسایی آن در سیستم^۵ NCS بررسی و ارزیابی گردیده و مبحث پایداری و سنکرون‌سازی بحث نشده است. در [۱۰] شناسایی حمله سایبری تزریق اطلاعات غلط در سنسور بررسی گردیده و سنکرون‌سازی بحث نشده است. در [۱۱] حمله سایبری به صورت تأخیر در یک ریزشبکه در نظر گرفته شده و فقط اثر فرکانس تحلیل گردیده و ولتاژ بررسی نشده است. در [۱۲] مشکلات سنسورها و عملگرها روی سیستم‌های چندعامله بحث گردیده و برای چند عامل خطی، سیستم چندعامله به سمت سنکرون‌سازی رفته است. در [۱۰] اثر از بین رفتن دیتا در ریزشبکه بررسی گردیده و بر روی سیستم گستته، ریزشبکه کنترل مقاوم طراحی شده است. در [۱۳] به گم شدن

- ۶: متغیر کمکی کنترل کننده جریان
- ۷: گره^۶ در تئوری گراف
- L_{line} : اندوکتانس خطوط بین DG‌ها
- R_{line} : مقاومت خطوط بین DG‌ها
- σ : مقدار تکین
- x^c : پارامتر x مختل شده با حمله
- C_V : بهره کنترلی ولتاژ
- C_P : بهره کنترلی توان اکتیو
- C_ω : بهره کنترلی فرکانس زاویه‌ای
- y : اطلاعات اندازه‌گیری شده سنسور
- \bar{y} : اطلاعات دریافت شده همان لحظه از سنسور
- x^a : اطلاعات غلط تزریق شده توسط حمله کننده
- x_i^{as} : حالت مختل شده با حمله عملگری و سنسوری
- u_i^{ac} : سیگنال کنترلی با حمله عملگری و سنسوری
- x_i^s : حالت مختل شده ناشی از خطای عملگری و سنسوری
- u_i^c : سیگنال کنترلی با خطای عملگری و سنسوری
- δ_i^s : سیگنال خطای تزریق شده سنسوری
- δ_i^a : سیگنال خطای تزریق شده عملگری
- e_i^s : خطاباً در نظر گرفتن خطای سنسوری
- u_i^s : ورودی کنترلی با درنظر گرفتن خطای سنسوری
- x_i^{as} : حالت مختل شده سیگنال حمله عملگر و سنسوری
- u_i^{ac} : سیگنال کنترلی با حمله عملگری و سنسوری
- x_i^a : سیگنال حمله سنسوری
- u_i^a : سیگنال حمله عملگری
- LPF : فیلتر پایین گذر

۱- مقدمه

وجود شبکه‌های گسترده انتقال انرژی الکتریکی از نقاط دوردست به مراکز مصرف، یکی از شاخصه‌های شبکه‌های برق جهان است. این چیدمان شبکه، مشکلات و مصائب فراوانی مانند تلفات انرژی الکتریکی در مسیرهای طولانی و همچنین تهدید پایداری شبکه را سبب می‌شود. مزایای منابع انرژی تجدیدپذیر سبب افزایش استفاده آنها در صنعت برق و گسترش روزافزون ریزشبکه‌ها شده است.

ریزشبکه‌ها شامل مجموعه‌ای از منابع تولید پراکنده^۷ (DG) نظیر توربین بادی، دیزل ژنراتور، پیل سوختی و سیستم فتوولتائیک، سیستم ذخیره انرژی و بارها بوده که قابلیت کنترل داشته و تأمین کننده توان الکتریکی هستند. موارد مهمی که در منابع تولید پراکنده باید کنترل شوند فرکانس و ولتاژ، توان اکتیو و راکتیو DG‌ها، سنکرون‌سازی ریزشبکه با شبکه اصلی^۸، مدیریت انرژی و بهینه‌سازی اقتصادی است [۱]. یک ریزشبکه در دو حالت وصل به شبکه^۹ و حالت جزیره‌ای^{۱۰} مورد بهره‌برداری قرار می‌گیرد. کنترل در حالت وصل به شبکه، اغلب از طریق شبکه اصلی انجام می‌گردد و در حالت جزیره‌ای باید به نحوی انجام پذیرد که همه DG‌ها دارای فرکانس و ولتاژ یکسانی باشند که اغلب باید با

6. Centralized Control
7. Decentralized Control
8. Distributed Control
9. Multi Agent Systems
10. Network Control System

1. Node
2. Distributed Generator
3. Main Grid
4. Grid Connected Mode
5. Islanded Mode

همچنین در این مقاله، کارآمدی کنترل کننده طراحی شده در مشکلات مختلف سنسوری و عملگری بررسی گردیده است. در این راستا اثرات ناشی از حمله سایبری سنسوری و عملگری و خطای سنسوری و عملگری با هم مقایسه شده و اثر تأخیر به عنوان یکی از مشکلات اصلی کانال‌های ارتباطی نیز تحلیل گردیده است. نوآوری‌های این مقاله به اختصار به شرح زیر هستند:

(۱) پایدارسازی و سنکرون‌سازی همزمان سیستم ریزشیکه با حضور خطای سنسوری و عملگری با تعريف یکتابع لیپانوف جدید و

به دست آوردن شرایط پایدارسازی و سنکرون‌سازی. در اکثر تحقیقات پیشین ولتاژ، فرکانس و یا توان اکتیو کنترل شده است. در این پژوهش با طراحی کنترل کننده مناسب، کنترل همزمان ولتاژ، فرکانس و توان اکتیو انجام شده است. به عنوان نوآوری در این پژوهش، تابع لیپانوف جدید ارائه گردیده و با انتخاب ضرایب مناسب، پایداری سیستم تضمین شده است.

(۲) مدل سازی و فرمول بندی خطای سنسوری و عملگری در مدل منابع تولید پراکنده و حصول همه قوانین رینولد در ریزشیکه. در این نوآوری با استفاده از ماهیت خطاهای سنسوری و عملگری، فرمول بندی در معادلات ریزشیکه با دیدگاه سیستم‌های چندعامله انجام شده است. همه قوانین رینولد در سیستم‌های چندعامله در ریزشیکه نیز در نظر گرفته شده‌اند.

(۳) طراحی و شبیه‌سازی کنترل کننده ثانویه در DG‌ها با درنظر گرفتن مدل کامل ریزشیکه به صورت سیستم چندعامله و با حضور خطای سنسوری و عملگری.

(۴) بررسی و تحلیل شرایط سنکرون‌سازی و مشخص کردن انعطاف و مقاومت همه DG‌ها با استفاده از قضایای جدید. علاوه بر بررسی پایداری سیستم، در این پژوهش قضیه‌های مرتبط با سنکرون‌سازی آمده و با ارائه شرایط سنکرون‌سازی، کنترل کننده مناسب ارائه شده است. طراحی کنترل کننده به نحوی است که می‌تواند در شرایط مناسب با وجود حملات سایبری مختلف و خطاهای سنکرون‌سازی را انجام دهد.

(۵) مقایسه اثر خطای سنسوری و عملگری با حمله سایبری سنسوری و عملگری در کنترل کننده ثانویه سلسله‌مراتبی.^۳ خط و حمله، دو اختلال متفاوت هستند که در تحقیقات قبلی، برخورد یکسانی با آنها شده است. در این پژوهش برای نوآوری، تفاوت‌های آنها بررسی گردیده و تاب آوری اثر آنها در ریزشیکه نشان داده شده است. اثر خطابه طور دقیق در سنسور و اثر حمله در لینک ارتباطی، تحلیل و تأثیر آنها در ریزشیکه با هم مقایسه شده است.

(۶) درنظر گرفتن تأخیر کانال ارتباطی در کنترل کننده سلسله‌مراتبی توزیع شده اشتراکی. با درنظر گرفتن ریزشیکه به صورت سیستم‌های چندعامله در انتقال اطلاعات تأخیر ایجاد می‌گردد. در این پژوهش تأخیر در این کانال تحلیل گردیده است.

در بخش دوم، مدل دینامیکی منابع تولید پراکنده و در بخش سوم، مدل سیستم ارتباطی و تئوری گراف بحث می‌گردد. در بخش چهارم، طراحی کنترلی سلسله‌مراتبی توزیع شده اشتراکی مورد مطالعه قرار می‌گیرد. در بخش پنجم، خطای سنسوری و عملگری و مقایسه آن با حمله سنسوری و عملگری و بررسی اثر آنها در منابع تولید پراکنده و در بخش ششم تحلیل پایداری سیستم ارائه شده است. در بخش هفتم شبیه‌سازی و نهایتاً

داده بین ریزشیکه و شبکه اصلی پرداخته شده است؛ اما مدل ریزشیکه به صورت خطی در نظر گرفته شده و از جزئیات مدل ریزشیکه صرف نظر گردیده است. همچنین در [۱۴] به جبران خطای ناشی از حمله سایبری سنسوری با استفاده از کنترل مقاوم پرداخته شده است. در [۱۵] عدم قطعیت‌های سیستم ارتباطی مورد مطالعه قرار گرفته است. اثر تأخیر زمانی در کانال‌های ارتباطی در [۱۶]، تغییرپذیری شبکه‌ای در [۱۷] و نویز اندازه‌گیری در [۱۸] بررسی شده و عملکرد و پایداری کنترل ثانویه توزیع شده مورد ارزیابی قرار گرفته است. مراجع [۱۹] و [۲۰] اثر خطای سنسوری در سیستم‌های چندعامله را بررسی کرده‌اند. حملات سایبری سنسوری و خطای سنسوری بر روی DG‌ها در مراجع مختلفی بحث شده است [۲۱] و [۲۲] تا [۲۴]. در [۲۴] حمله سایبری در ریزشیکه بحث گردیده و حمله سنسوری و عملگری مورد مطالعه قرار گرفته است؛ ولی حمله به صورت یک اختشاش وارد معادلات گردیده است؛ در صورتی که حمله سایبری باید به صورت هوشمند در معادلات وارد شود.

در [۱۴]، جبران خطای ناشی از حمله حسگر با استفاده از کنترل مقاوم مورد بحث قرار گرفته و در حملات سایبری از سنسور و خروجی محرك استفاده شده است. در [۴] روش جدیدی برای از بین بردن اثرات حمله ریودن اطلاعات^۱ ارائه شده است. در [۲۵]، اثر حملات تزریق اطلاعات نادرست ناشانخته در ریزشیکه DC با طراحی یک مشاهده‌گر حالت توسعه یافته توزیع شده با کنترل ولتاژ و جریان حذف شده است. در [۲۶] اثر حمله‌های سنسوری، ریودن اطلاعات و DoS بر روی کنترل کننده ثانویه نشان داده شده است؛ اما پایداری و سنکرون‌سازی آن بحث و تحلیل نشده است. تفاوت مقاله ارائه شده با [۲۷] آن است که در اینجا از مقدار مرجع برای سنکرون‌سازی استفاده شده است؛ ولی در [۲۷] برای از بین بردن اثر حمله از میانگین ولتاژ و فرکانس استفاده گردیده است. استفاده از میانگین، علی‌رغم اینکه اثر حمله را از بین می‌برد ممکن است باعث شود که خروجی‌ها از مقدار مرجع فاصله بگیرند و به سمت مقدار میانگین بازیابی شوند. در هیچ کدام از منابع تولید پراکنده مطرح نشده است. در این مقاله با دیدگاه سیستم‌های چندعامله، سنکرون‌سازی و پایداری و شرایط محقق شدن آنها بررسی شده است. یکی از اصلی ترین اهداف در تحقیقات خطاهای سنسوری و عملگری آن است که کنترل کننده به نحوی طراحی شود که رنج وسیع‌تری از خطاهای را تحمل کند و بتواند مقاومت سیستم در برابر اختلالات کانال ارتباطی را حفظ کند. راهکار ارائه شده در این مقاله آن است که با استفاده از دیدگاه سیستم‌های چندعامله، مشکلات ناشی از سنسور و عملگر بر طرف گردد و همچنین شرایط همزمان پایدارسازی و سنکرون‌سازی به دست آمده است.

در این مقاله، ابتدا معادلات خطای سنسوری و عملگری در ریزشیکه، فرمول بندی ریاضی گردیده است. با طراحی کنترل کننده سلسله‌مراتبی توزیع شده اشتراکی، سیستم پایدار شده و سنکرون‌سازی با دیدگاه سیستم‌های چندعامله و درنظر گرفتن قوانین رینولد^۲ انجام گردیده است. با معرفی تابع لیپانوف مناسب، اثر خطای در پایداری ریزشیکه ارزیابی گردیده و شرایط سنکرون‌سازی و پایدارسازی به دست آمده است. برای به دست آوردن شرایط سنکرون‌سازی، قضیه مناسب ارائه گردیده و نشان داده شده که با حضور خطای در سنسورها و عملگرهای خروجی‌های منابع تولید پراکنده با هم و با مقدار مرجع برابر شده است.

1. Hijacking Attack

2. Reynold

۳) خطا در ارتباطات (اطلاعات از همسایه‌ها گرفته نمی‌شود)
توجه: اساسی‌ترین تفاوت خطای سنسوری و حمله سایبری سنسوری در آن است که خطا به دلیل مشکلات سنسوری و حمله سایبری سنسوری به دلیل مشکلات کanal ارتباطی است. بنابراین خطای سنسوری از نوع دوم و حمله سایبری سنسوری از نوع سوم خطای تعریف شده در نقص در خروجی‌هاست؛ هرچند هر دو در سیستم تأثیرات تقریباً یکسانی دارند و نهایتاً باعث اختلال در مقدار خروجی می‌گردند.

تعاریف

گراف پیوسته: در بین دو گره آن حداقل یک مسیر وجود دارد.
گره رهبر^۲: گرهی که از گره دیگری مقدار نمی‌گیرد و مقدار مرجع همه عامل‌ها را مشخص می‌کند.

درخت ریشه‌دار: یک گراف پیوسته با گره رهبر که هیچ حلقه‌ای ندارد. به منظور تحلیل سیستم ارتباطی از تئوری گراف استفاده می‌گردد و شبکه ارتباطی به صورت (۲) نشان داده شده است

$$G = (V(G), E(G)) \quad (2)$$

$A_G \subset R \times R$ و $E(G) \subset V(G) \times V(G)$ ، $V(G) = \{v_1, v_2, \dots, v_N\}$ به ترتیب گره‌ها (منابع تولید پراکنده)، لینک‌های ارتباطی و ماتریس مجاورتی هستند. درایه‌های ماتریس مجاورتی a_{ij} وزن اضلاع گراف است که اگر گراف i ام به گراف j ام اطلاعات دهد یک و در غیر این صورت صفر است [۳۵]. ماتریس Δ و لاپلاسین L به صورت زیر تعریف می‌شود

$$\begin{aligned} D &= \text{diag}(\Delta_i) \\ \Delta_i &= \sum_{v_j=N_i} a_{ij} \\ L &= D - A \end{aligned} \quad (3)$$

Δ ، تعداد اضلاعی است که به گره i ام وارد می‌شود (درجه داخلی)^۳. در این مقاله گراف به صورت متعادل (همه وزن ضلع‌ها برابر و مقدار آنها یک و صفر)، توپولوژی ثابت و درخت پیوسته ریشه‌دار^۴ فرض شده است. توجه: در سیستم‌های چندعامله دو نکته بسیار مهم است: پایداری و سنکرون‌سازی. سنکرون‌سازی سیستم‌های چندعامله به این معنی است که همه عامل‌ها طبق قانون دوم رینولد در حالت ماندگار با هم هماهنگ باشند. این اصل با (۴) نشان داده شده است

$$\lim_{t \rightarrow \infty} \|x_i(t) - x_j(t)\| = 0, \quad i, j = 1, 2, 3, \dots, N \quad (4)$$

با توجه به قانون سوم رینولد، سنکرون‌سازی مشخص کردن مرکز در سیستم‌های چندعامله به دو روش انجام می‌گردد: (۱) با درنظر گرفتن مرکز به صورت میانگین همه خروجی‌ها که در (۵) آمده و (۲) به صورت تواافقی^۵ و درنظر گرفتن مرجع که در (۶) نشان داده شده است

$$\lim_{t \rightarrow \infty} \|x_i(t) - x^*(t)\| = 0, \quad i, j = 1, 2, 3, \dots, N \quad (5)$$

$$\lim_{t \rightarrow \infty} \|x_i(t) - x_{ref}(t)\| = 0, \quad i = 1, 2, 3, \dots, N \quad (6)$$

که در (۵)، $x^*(t) = \frac{1}{N} \sum_{i=1}^N x_i(t)$ میانگین خروجی‌های سیستم است و [۳۵]. از جنبه دیگری سنکرون‌سازی را به صورت محلی و کلی نیز در نظر می‌گیرند. سنکرون‌سازی محلی به صورت (۷) تعریف می‌شود که

در بخش هشتم نتیجه‌گیری ارائه گردیده است.

۲- مدل دینامیکی منابع تولید پراکنده (DGS)

مدل استفاده شده در این مقاله به صورت (۱) در نظر گرفته شده که غیرخطی است و کاملاً همه جزئیات منابع تولید پراکنده را در بر می‌گیرد. در این مدل سازی، قسمت‌های مختلف شامل منابع توزیع شده، قسمت‌های اندازه‌گیری، شبکه اصلی، قسمت‌های کنترلی و لینک‌های ارتباطی، بلوک‌های کنترل کننده توان، کنترل کننده ولتاژ و جریان، فیلتر LC و بار خروجی در نظر گرفته شده است [۲] و [۲۸] تا [۳۲]

$$\begin{cases} \dot{x}_i = f_i(x_i) + k_i(x_i)D_i + g_i(x_i)u_i \\ y_i = h_i(x_i) \\ x_i = [\delta_i \ P_i \ Q_i \ \phi_{di} \ \phi_{qi} \ \gamma_{di} \ \gamma_{qi} \ i_{ldi} \ i_{lqi} \ v_{odi} \ v_{oqi} \ i_{odi} \ i_{oqi}] \\ D_i = [\omega_{com} \ v_{bdi} \ v_{bqi}]^T \end{cases} \quad (1)$$

که D_i و x_i حالت و اغتشاش سیستم است. δ_i زاویه چارچوب مرجع DG_i با چارچوب مرجع معمول، P_i و Q_i توان متوسط اکتیو و راکتیو خروجی، ϕ_{dq} متغیر کمکی در کنترل کننده ولتاژ، γ_{di} متغیر کمکی در کنترل کننده جریان، i_{ldq} و v_{odq} به ترتیب مقداری جریان و ولتاژ خروجی و جریان بار و $y_i = (v_{odi} \ \omega_{odi})^T$ و $u_i = (V_{ni}^* \ \omega_{ni}^*)^T$ مقداری ورودی کنترلی و خروجی هستند. جزئیات مقادیر (۱) در [۲۸] آمده است. در این مدل سازی، قسمت‌های مختلف شامل منابع توزیع شده، قسمت‌های اندازه‌گیری، شبکه اصلی، قسمت‌های کنترلی و لینک‌های ارتباطی، بلوک‌های کنترل کننده توان، کنترل کننده ولتاژ و جریان، فیلتر LC و بار خروجی در نظر گرفته شده و از بین مدل‌های مختلف DG‌ها کامل‌ترین مدل است [۲] و [۲۸] تا [۳۲].

۳- مدل کanal ارتباطی و تئوری گراف

برای تعیین مسیر تبادل داده‌ها (ولتاژ، فرکانس، توان اکتیو و راکتیو) بین DG‌ها از سیستم مخابراتی استفاده شده است. برای تحلیل لینک‌های مخابراتی، تحلیل پایداری و سنکرون‌سازی در این مقاله از تئوری گراف^۶ و با دیدگاه سیستم‌های چندعامله استفاده گردیده است. در سیستم‌های چندعامله، کنترل یک عامل به خروجی‌های عامل هم‌جاوار نیز بستگی دارد. در این مدل، منابع تولید پراکنده به صورت عامل و لینک‌های مخابراتی بین آنها با ماتریس هم‌جاوار مدل می‌شوند.

برای سنکرون‌سازی سیستم‌های چندعامله، سه قانون اصلی به نام قوانین رینولد وجود دارد:

(۱) اجتناب از برخورد با همسایگان

(۲) تطبیق حرکت با بقیه گروه

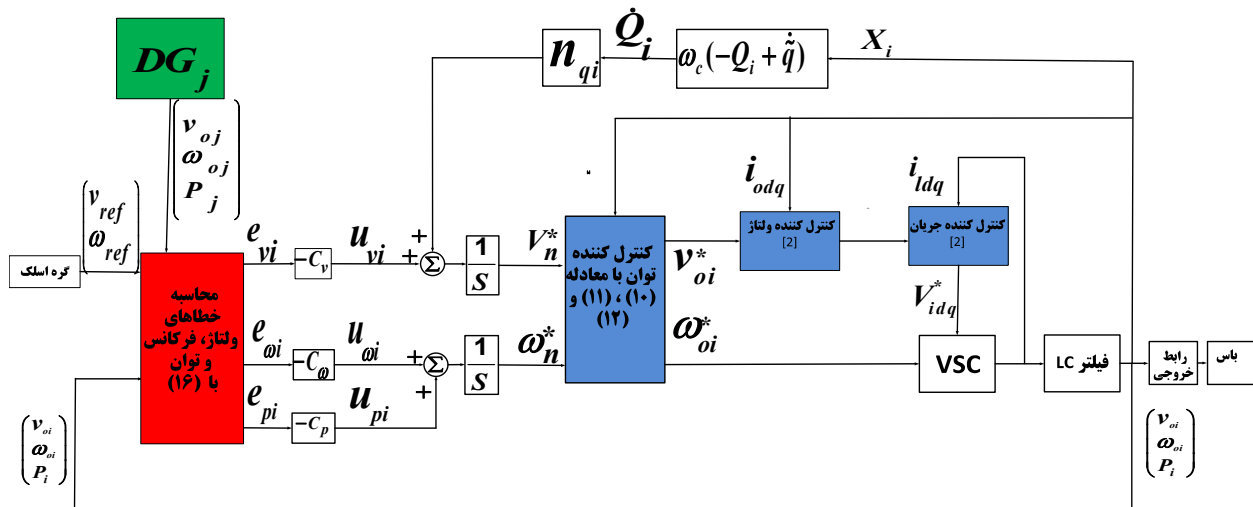
(۳) باقی‌ماندن در اطراف یک مرکز

برای کنترل و سنکرون‌سازی منابع، همه این قوانین باید پیاده‌سازی گردد. مزایای اصلی سیستم‌های چندعامله، افزایش عملکرد سیستم، افزایش قابلیت تطابق، پایداری و انعطاف‌بیشتر، افزایش مقاوم‌بودن سیستم، مقابله با خطا و هزینه کمتر است [۳۳] و [۳۴].

خطاهای ناشی از دریافت صحیح داده‌های خروجی در سیستم‌های چندعامله به سه دسته تقسیم می‌شوند:

(۱) خطا در عملگرها (عملگر کارایی‌اش را از دست داده است)

(۲) خطا در سنسورها (سنسور اطلاعات را درست اندازه‌گیری نمی‌کند)



شکل ۱: ساختار کلی DG به همراه کنترل کننده اولیه و ثانویه.

اولیه به عنوان یک کنترل کننده محلی ایجاد گردد [۲۹] و [۳۸].

۴-۱ کنترل کننده اولیه

کنترل کننده‌های جریان، ولتاژ و توان به صورت اولیه در نظر گرفته می‌شوند. خروجی کنترل کننده ثانویه $(V_{ni}^*, \omega_{ni}^*)^T$ و خروجی DG_i $(V_{oi}^*, \omega_{oi}^*)^T$ به عنوان ورودی کنترل کننده اولیه است. در کنترل کننده توان، ابتدا با استفاده از خروجی‌های منابع تولید پراکنده، توان لحظه‌ای از (۱۰) بدست می‌آید و با عبور این توان از یک فیلتر پایین گذر با (۱۱) توان متوسط به صورت $P(Q)^T$ حاصل می‌شود

$$\begin{cases} \tilde{P}_i = v_{odi} i_{odi} + v_{oqi} i_{oqi} \\ \tilde{Q}_i = v_{oqi} i_{odi} - v_{odi} i_{oqi} \end{cases} \quad (10)$$

$$P_i = \frac{s}{s + \omega_c} \tilde{P}_i \quad (11)$$

$$Q_i = \frac{s}{s + \omega_c} \tilde{Q}_i \quad (12)$$

با صرف نظر از دینامیک‌های سریع سیستم و با در نظر گرفتن مدل سیستم در چارچوب dq ، کنترل کننده توان در کنترل کننده اولیه به صورت (۱۲) در نظر گرفته می‌شود [۲] و [۳۷]

$$\begin{cases} v_{oi}^* = V_{ni}^* - n_{qi} Q_i \\ \omega_{oi}^* = \omega_{ni}^* - m_{pi} P_i \end{cases} \quad (13)$$

معادله ولتاژ در چارچوب dq به صورت زیر درمی‌آید

$$v_{odi}^* = V_{ni}^* - n_{qi} Q_i \quad (14)$$

سپس با توجه به (۱۲)، خروجی کنترل کننده توان بدست می‌آید و خروجی v_o^* به کنترل کننده ولتاژ و ω_o^* به VSC داده می‌شود. در این معادله m_{pi} ضرایب دروپ و V_{ni}^* و ω_{ni}^* مقادیر مرجع کنترل کننده اولیه هستند. در کنترل کننده ولتاژ و جریان از کنترل کننده PI استفاده شده است. کنترل کننده ولتاژ، مرجع جریان‌ها را مشخص می‌نماید و خروجی آن به عنوان ورودی‌های مرجع وارد کنترل کننده جریان می‌شوند.

به شرایط اولیه حالات بستگی دارد

$$\forall \varepsilon > 0 \exists \delta, T > 0 \rightarrow \|x_i(\cdot) - x_j(\cdot)\| < \delta \rightarrow \|x_i(t) - x_j(t)\| < \varepsilon \text{ for } t > T, i, j = 1, 2, \dots, N \quad (15)$$

$$\text{در سنکرون‌سازی کلی برای همه شرایط اولیه‌ها می‌توان نوشت} \\ \forall \varepsilon > 0 \exists T > 0 \rightarrow \|x_i(t) - x_j(t)\| < \varepsilon \text{ for } t > T, i, j = 1, 2, \dots, N \quad (16)$$

در سیستم‌های چندعامله کنترل کننده باید به نحوی طراحی شود که شرط پرهیز از برخورد و پیروی از رهیب تحقق یابد. به این منظور سیگنال کنترلی به صورت (۹) تعریف می‌گردد

$$u = \sum a_{ij} (x_i - x_j) + g_i (x_i - x_{ref}) \quad (17)$$

که g_i بهره اتصال است [۳۵]. در این مقاله طراحی کنترل کننده به نحوی است که همه شرایط رینولد تحقق یابد و خروجی‌ها به صورت کلی سنکرون باشند.

۴- طراحی کنترلی سلسه‌مراتبی توزیع شده اشتراکی

در این مقاله از کنترل کننده توزیع شده به صورت سلسه‌مراتبی در چند لایه استفاده شده است. در روش سلسه‌مراتبی، کل ساختار کنترلی به سه سطح اولیه، ثانویه^۱ و ثالثیه^۲ تقسیم می‌شود. هر لایه مرتع، لایه بالاتر را تنظیم می‌کند و بنابراین باعث می‌شود که در لایه پایین‌تر خط‌ها کمتر گردد [۳] و [۳۷]

در این مقاله از کنترل کننده اولیه و ثانویه استفاده شده و شکل ۱ منابع تولید پراکنده و این کنترل کننده‌ها را نشان می‌دهد. کنترل کننده اولیه شامل کنترل کننده توان، ولتاژ و جریان و کنترل کننده ثانویه برای حذف انحراف کنترل کننده اولیه است که در آن می‌توان از کنترل کننده‌های مختلفی استفاده کرد. در این مقاله با دیدگاه سیستم‌های چندعامله در کنترل کننده ثانویه از روش خطی‌سازی فیدبک استفاده شده است. با توجه به شکل ۱، V_{ni}^* و ω_{ni}^* باید توسط کنترل کننده ثانویه و به عنوان ورودی کنترل کننده اولیه ایجاد شوند تا انحراف کمتری در ورودی کنترل کننده

1. Primary Control
2. Secondary Control
3. Tertiary Control

خطای عدم تطابق به صورت (۱۹) تعریف می‌شود که اگر صفر شود سنکرون‌سازی انجام می‌گردد

$$e_{vi} = (L + G)(v_{odi} - v_{ref}) \quad (19)$$

به این ترتیب برای کنترل و سنکرون‌سازی سیستم و با توجه به (۱۲) تا (۱۹) باید این حالت، فرکانس، ولتاژ و توان اکتیو متوسط DG هم‌جوار را داشته باشیم.

۵- خطای سنسوری و عملگری و مقایسه آن با حمله سایبری سنسوری و عملگری در DG

در کنترل، خطای^۱ در نتیجه هر نوع آسیب نرم‌افزاری و سخت‌افزاری به محرک و سنسور تعریف می‌شود. نقص در سنسورهای ریزشیکه، اثرات مخربی بر عملکرد آنها دارد و ممکن است اطلاعات از بین رفته و بازیابی ولتاژ و فرکانس اتفاق نیافتد. در تئوری کنترل، خطای و حمله سایبری یکسان نیستند؛ هرچند نهایتاً اتفاق یکسانی می‌افتد و خروجی سنسور تحت تأثیر قرار می‌گیرد (هم در حمله و هم در خطای). در [۲۴] و [۳۹] به اختصار این تفاوت‌ها شرح داده شده است. تفاوت‌های اصلی این دو به شرح زیر است:

(۱) در DG‌ها حمله سنسوری در لینک‌های مخابرایی بین سنسورهای کنترل کننده‌های ثانویه و حمله عملگری بین کنترل کننده اولیه و ثانویه اتفاق می‌افتد؛ در حالی که خطای در سنسورها و عملگرها به معادلات اضافه می‌گردد.

(۲) در حمله سایبری، اطلاعات دقیقی از خروجی نیاز است و به صورت هوشمند اتفاق می‌افتد؛ ولی در خطای مقداری به صورت ناخواسته به خروجی اضافه می‌گردد و هوشمندی ندارد.

(۳) خطای به دلیل اعوجاج عملکرد سنسور یا محرک در طول زمان است؛ در حالی که حمله ممکن است به صورت لحظه‌ای باشد یا در بازه‌ای از زمان محدود گردد.

(۴) حمله از بیرون به ریزشیکه وارد می‌شود؛ ولی خطای معمولاً از داخل ایجاد می‌گردد.

(۵) خطاهای معمولاً ناخواسته هستند و به منظور تخریب استفاده نمی‌شوند؛ اما حملات سایبری به صورت عمدی و به منظور اختلال در کارایی سیستم اضافه می‌گردد.

اما شباهت آنها در این است که اثر هر دو در منابع تولید پراکنده یکسان است و هم در خطای و هم در حمله سنسوری و عملگری، اطلاعات ولتاژ و فرکانس یک DG هم‌جوار، اشتباه می‌رسد و ممکن است باعث ناپایداری سیستم گردد.

حملات سایبری به سه گروه کلی تقسیم می‌شوند:

(۱) حمله منع سرویس^۲ (DoS)

(۲) حمله فریب^۳

(۳) حمله تکرار^۴

فرض کنید y اطلاعات اندازه‌گیری شده و \bar{y} اطلاعات دریافت شده همان لحظه باشد. در حمله DoS مهاجم از طریق کانال ارتباطی، انتقال اطلاعات را بلوکه می‌کند. این نوع حمله بعضی موقع به عنوان از بین رفتن اطلاعات نیز مطرح می‌گردد و اطلاعات دریافت شده صفر می‌گردد

1. Fault

2. Denial of Service Attack

3. Deception Attack

4. Replay Attacks

۴- کنترل کننده ثانویه

شکل ۱ طرح کلی کنترل کننده ثانویه را نیز نشان می‌دهد. در این مقاله، کنترل کننده ثانویه با استفاده از روش خطی‌سازی فیدبک طراحی شده است. هدف اصلی در طراحی کنترل کننده، اعمال ورودی کنترلی مناسب $(V_{ni}^*, \omega_{ni}^*)$ به کنترل کننده اولیه به منظور پایداری و سنکرون‌سازی سیستم است. با استفاده از روش خطی‌سازی فیدبک از (۱۲) و (۱۳) مشتق گرفته می‌شود و آن را برابر با ورودی کنترلی قرار می‌دهیم و ورودی کنترلی را به نحوی طراحی می‌کنیم که خطای به سمت صفر میل کند. بنابراین نتیجه به صورت (۱۴) در می‌آید [۳۷]

$$\begin{cases} \dot{v}_{odi}^* = V_{ni}^* - n_{qi} \dot{Q}_i = u_{vi} \\ \dot{\omega}_{oi}^* = \dot{\omega}_{ni}^* - m_{pi} \dot{P}_i = u_{\omega i} \end{cases} \quad (14)$$

که u_{vi} و $u_{\omega i}$ به ترتیب سیگنال کنترلی کمکی ولتاژ و جریان در روش خطی‌سازی فیدبک سیستم‌های چندعامله هستند. به منظور پایدارسازی سیستم و با توجه به اینکه سیستم به صورت چندعامله در نظر گرفته می‌شود، ورودی کنترلی به صورت (۱۵) با استفاده از خطاهای دنبال‌سازی است [۳۵]

$$\begin{cases} u_{vi} = -C_v e_{vi}(t) \\ u_{\omega i} = -C_\omega e_{\omega i}(t) \\ u_{pi} = m_{pi} \dot{P}_i = -C_p e_{pi}(t) \end{cases} \quad (15)$$

در این رابطه $e_{pi}(t)$ ، $e_{vi}(t)$ و $e_{\omega i}(t)$ به ترتیب خطای دنبال‌سازی و C_v ، C_ω و C_p بهره کنترلی ولتاژ، فرکانس و توان اکتیو هستند. خطاهای دنبال‌سازی به صورت (۱۶) در سیستم‌های چندعامله می‌باشند که در سنکرون‌سازی، هدف آن است که این خطاهای صفر شوند. این خطاهای با استفاده از خروجی DG و همسایه به دست می‌آیند

$$\begin{cases} e_{vi} = \sum a_{ij} (v_{.i}(t) - v_{.j}(t)) + g_i (v_{.i}(t) - v_{ref}) \\ e_{\omega i} = \sum_{j \in N_j} a_{ij} (\omega_{oi}(t) - \omega_{oj}(t)) + g_i (\omega_{oi}(t) - \omega_{ref}) \\ e_{pi} = \sum a_{ij} (m_{pi} P_i - m_{pj} P_j) \end{cases} \quad (16)$$

که در (۱۶)، $v_{.i}(t)$ ، $\omega_{oi}(t)$ و P_i و P_j و $\omega_{oj}(t)$ و v_{ref} و DG_j هستند. a_{ij} درایه‌های ماتریس مجاورت و g_i بهره اتصال می‌باشند. g_i فقط زمانی برابر یک است که DG به اسلک وصل باشد و در غیر این صورت صفر است.

با استفاده از (۱۲) تا (۱۶) سیگنال کنترلی از روش خطی‌سازی فیدبک به صورت (۱۷) به دست می‌آید

$$\begin{cases} V_{ni}^* = \int (u_{vi} + n_{qi} \dot{Q}_i) dt \\ \omega_{ni}^* = \int (u_{\omega i} + u_{pi}) dt \end{cases} \quad (17)$$

در (۱۷) مقدار \dot{Q}_i به صورت زیر تعریف شده است

$$\dot{Q}_i = -\omega_c Q_i + \omega_c (v_{oqi} i_{odi} - v_{odi} i_{oqi}) = -\omega_c Q_i + \omega_c \dot{q} \quad (18)$$

\dot{Q}_i مربوط به اطلاعات داخلی DG است و بنابراین تحت تأثیر اختلالات خارجی قرار نمی‌گیرد. \dot{q} توان راکتیو لحظه‌ای، ω_c فرکانس قطع فیلتر پایین‌گذر و v_o و i_o ولتاژ و جریان خروجی DG است [۲۸] و [۳۷].

$$\begin{aligned} u_{P_i}^c &= u_{P_i}^s + \delta_{P_i}^a \\ u_{\omega i}^c &= u_{\omega i}^s + \delta_{\omega i}^a \\ P_i^s &= P_i + \delta_{P_i}^s \\ \omega_{\omega i}^s &= \omega_{\omega i} + \delta_{\omega \omega i}^s \end{aligned} \quad (28)$$

که $u_{\omega i}^c$, $u_{\omega i}^s$ و $\delta_{\omega i}^a$ به ترتیب سیگنال کنترلی فرکانس مختلف شده، سیگنال کنترلی با خطأ سنسوری و سیگنال خطأ عملگری است و به همین ترتیب برای فرکانس و توان، سیگنال کنترلی برای حمله سنسوری به صورت زیر به دست می‌آید

$$\begin{cases} u_{\omega i}^c = u_{\omega i}^s + \delta_{\omega i}^a = u_{\omega i} + f_{i\omega} \\ u_{P_i}^c = u_{P_i}^s + \delta_{P_i}^a = u_{P_i} + f_{iP} \\ f_{i\omega} = -C_{\omega} \sum a_{ij} (\delta_{\omega i}^s - \delta_{\omega j}^s) + g_i \delta_{\omega i}^s + \delta_{\omega i}^a \\ f_{iP} = -C_P \sum a_{ij} [m_{Pi} \delta_{P_i}^a - m_{Pj} \delta_{P_j}^a] \end{cases} \quad (29)$$

نهایتاً سیگنال کنترلی فرکانس برابر است با

$$\omega_{ni}^* = \int (u_{\omega i}^c + u_{P_i}^c) dt = \int (u_{\omega i}^s + f_{i\omega} + u_{P_i}^s + f_{iP}) dt \quad (30)$$

۶- اثبات پایداری

در این مقاله فرض شده که مقدار خطأ محدود و ناشناخته است [۴۱]، درخت گراف پیوسته می‌ماند و ارتباط بین منابع تولید پراکنده مختلف طبق ماتریس مجاورت حفظ می‌شود [۳۰] و [۳۷]. خطأ سیستم به صورت (۳۱) و بردار مغایرت^۱ به صورت (۳۲) تعریف می‌شود

$$e_{vi} = (L + G)(v_{odi} - v_{ref}) \quad (31)$$

$$\delta = v_{od} - v_{ref} \quad (32)$$

با فرض خطأ سنسوری و عملگری ولتاژ، سیگنال کنترلی با وجود خطأ و بر اساس سیگنال خطأ به صورت (۳۳) به دست می‌آید

$$u_v^c = -C_v e_v^c = -C_v (L + G)(v_{odi}^c - v_{ref}) \quad (33)$$

در فرمول بالا، u_v^c و e_v^c به ترتیب سیگنال کنترلی، سیگنال خطأ و مقدار خروجی ولتاژ با وجود خطأ سنسوری و عملگری است. برای اثبات پایداری و سنکرون‌سازی، لم و قضیه زیر در نظر گرفته می‌شود.

لم ۱: فرضًا گراف G یک درخت پیوسته و حداقل در یک گره ریشه $\neq g_i$ باشد. با تعریف خطأ به صورت $\delta = (L + G)\delta$ برقرار است

$$\sigma_{\min}(L + G) \|\delta\| \leq \|e\| \Rightarrow \|\delta\| \leq \frac{\|e\|}{\sigma_{\min}} (L + G) \quad (34)$$

که σ مقدار تکین^۲ ماتریس است. در این صورت e برابر صفر است اگر و فقط اگر همه گره‌ها سنکرون باشند [۴۲]. بنابراین یکی از اصلی‌ترین شرایط برای برقراری قوانین رینولد در منابع برقرار می‌گردد.

لم ۲: فرض کنید گراف مستقیم G یک درخت پیوسته باشد و برای حداقل یکی از گره‌های ریشه $g_i \neq 0$. ماتریس $D + G$ را در نظر بگیرید و با توجه به اینکه $D + G = (D + G)^T$ و $A = L + G$ در این صورت $Q = (D + G)A + A^T(D + G)$ مثبت معین است.

توجه: در (۲) و (۳) تعریف شد و ماتریس مثبت معین است و به همین دلیل در معادله بالا قرار گرفته است.

(۲۹). در حمله تکرار، یک سری از اطلاعات گذشته جایگزین اطلاعات فعلی می‌گردد و از نظر مدل ریاضی $\bar{y} \in Y$ است که Y اطلاعات گذشته است. در حمله فریب، مهاجم یک سری اطلاعات غلط را به اطلاعات ارسالی اصلی تزریق می‌کند و از نظر ریاضی به صورت $y^a = \bar{y} + y^a$ می‌باشد که y^a اطلاعات تزریق شده توسط مهاجم است. لازم به ذکر است که y^a نسبتی از خروجی سیستم است. حمله سنسوری و عملگری نیز جزء همین دسته از حمله‌ها به حساب می‌آید و البته به صورت هوشمند، مقادیر خروجی را ذخیره و در همان لحظه به سیستم تزریق می‌کند [۴۰]. حمله روی عملگرها و سنسورها به صورت رابطه زیر مدل می‌شود

$$\begin{aligned} u_i^{ac} &= u_i + \alpha_i u_i^a \\ x_i^{as} &= x_i + \beta_i x_i^a \end{aligned} \quad (20)$$

در این فرمول به ترتیب u_i^{ac} و x_i^{as} سیگنال کنترلی و حالت مختلف شده ناشی از حمله سایبری عملگری و سنسوری، u_i و x_i سیگنال کنترل و حالت واقعی و u_i^a و x_i^a سیگنال حمله عملگر و سنسوری است. در این فرمول بدون حمله $\alpha_i, \beta_i = 0$ و با حمله $\alpha_i, \beta_i = 1$ است. خطأ روی عملگرها و سنسورها به صورت (۲۱) مدل می‌شود

$$\begin{aligned} u_i^c &= u_i + \delta_i^a \\ x_i^s &= x_i + \delta_i^s \end{aligned} \quad (21)$$

که در رابطه بالا، u_i^c و u_i^s به ترتیب سیگنال کنترلی و حالت مختلف شده ناشی از خطأ عملگری و سنسوری، u_i و x_i سیگنال کنترل و حالت واقعی و δ_i^a و δ_i^s به ترتیب سیگنال خطأ عملگر و سنسوری هستند. با درنظر گرفتن خطأ در عملگرها در (۲۱) و سیگنال کنترلی (۱۵) برای سیستم‌های چندعامله، سیگنال کنترلی به‌فرم روابط زیر بازنوبیسی می‌گردد

$$u_i^c = u_i^s + \delta_i^a \quad (22)$$

$$\begin{aligned} u_i^s &= -k e_i^s = -k \sum a_{ij} (x_i^s - x_j^s) + g_i (x_i^s - x_o) \\ u_i^s &= -k \sum a_{ij} (x_i + \delta_i^s - x_j - \delta_j^s) + g_i (x_i + \delta_i^s - x_o) \end{aligned} \quad (23)$$

که u_i^s و e_i^s مقدار ورودی کنترلی و خطأ با درنظر گرفتن خطأ سنسوری است. سیگنال کنترلی مختلف شده برابر است با

$$u_i^c = u_i + \delta_i^a - k \sum a_{ij} (\delta_i^s - \delta_j^s) + g_i \delta_i^s = u_i + f_i \quad (24)$$

در منابع تولید پراکنده نیز به همین روش و با استفاده از (۲۱) تا (۲۴) کنترل کننده طراحی می‌شود.

الف) کنترل کننده ولتاژ

با استفاده از (۱۷) و (۲۱) سیگنال کنترلی ولتاژ به صورت زیر است

$$\begin{aligned} u_{vi}^s &= -C_v e_{vi}^s = -C_v \sum a_{ij} (v_{oi}^s - v_{oj}^s) + g_i (v_{oi}^s - v_{ref}) \\ u_{vi}^c &= u_{vi}^s + \delta_{vi}^a = -C_v \sum a_{ij} (v_{oi} - v_{oj}) + g_i (v_{oi} - v_{ref}) - C_v \sum a_{ij} (\delta_{voi}^s - \delta_{voj}^s) + g_i \delta_{voi}^s + \delta_{vi}^a = u_{vi} + f_{iv} \end{aligned} \quad (25)$$

$$V_{ni}^* = \int (u_{vi}^c + n_{Qi} \dot{Q}_i) dt = \int (u_{vi} + f_{iv} + n_{Qi} \dot{Q}_i) dt \quad (26)$$

ب) کنترل کننده فرکانس

در کنترل کننده فرکانس (۱۷) نیز معادله با خطأ سنسوری به دست می‌آید

$$\omega_{ni}^* = \int (u_{\omega i}^c + m_p \dot{P}) dt = \int (u_{\omega i}^c + u_{Pi}^c) dt \quad (27)$$

با استفاده از (۲۱)

با توجه به لم λ ، $Q = X + X^T$ مثبت معین است و بنابراین

$$\dot{V} = -\frac{C_v}{\lambda} e_v^T Q e_v - \frac{C_v}{\lambda} (e_v^{sa})^T Q e_v^{sa} \leq 0. \quad (40)$$

منفی معین و ریز شبکه با وجود خطای سنسوری و عملگری، پایدار مجانی است. برای سنکرون سازی باید اثبات شود که خطای حالت ماندگار صفر است و به عبارتی $\lim_{t \rightarrow \infty} e^c \rightarrow 0$ و سپس با توجه به لم λ ، بردار $\delta^c = \delta^c$ پایدار مجانی است و ولتاژ خروجی DG ها به V_{ref} سنکرون می شوند. بنابراین

$$\begin{aligned} \dot{V}_v &= -\frac{C_v}{\lambda} e_v^T Q e_v \\ \dot{V}_v &= -\frac{C_v}{\lambda} (e_v^{sa})^T Q e_v^{sa} \\ \dot{V}_v &\leq -\frac{C_v}{\lambda} \sigma_{\min}(Q) \|e_v\|^2 \leq -\frac{C_v}{\lambda} \frac{\sigma_{\min}(Q)}{\sigma_{\max}(D)} V_v = \\ &- \gamma_v V_v \rightarrow V_v \leq e_v^{-\gamma_v t} V_v(t.) \end{aligned} \quad (41)$$

$$\lim_{t \rightarrow \infty} e_v^{-\gamma_v t} V_v(t.) \rightarrow \cdot \rightarrow \lim_{t \rightarrow \infty} V_v \rightarrow \cdot \cdot \cdot \cdot \cdot \cdot \cdot \cdot \cdot$$

$$\begin{aligned} \dot{V}_v &\leq -\frac{C_v}{\lambda} \sigma_{\min}(Q) \|e_v^{sa}\|^2 \leq -\frac{C_v}{\lambda} \frac{\sigma_{\min}(Q)}{\sigma_{\max}(D)} V_v = \\ &- \gamma_v V_v \rightarrow V_v \leq e_v^{-\gamma_v t} V_v(t.) \end{aligned}$$

$$\lim_{t \rightarrow \infty} e_v^{-\gamma_v t} V_v(t.) \rightarrow \cdot \rightarrow \lim_{t \rightarrow \infty} V_v \rightarrow \cdot \cdot \cdot \cdot \cdot \cdot \cdot \cdot \cdot$$

و بنابراین $\lim_{t \rightarrow \infty} V_v \rightarrow 0 \Rightarrow e_v^c \rightarrow 0 \Rightarrow \delta^c \rightarrow 0$ و سنکرون سازی انجام می گردد. همچنین هرچه C_v بزرگ تر باشد سرعت سنکرون سازی مناسب تر است و با انتخاب مناسب C_v و تأثیر آن در u_v^c ، سنکرون سازی بهینه ای انجام می پذیرد.

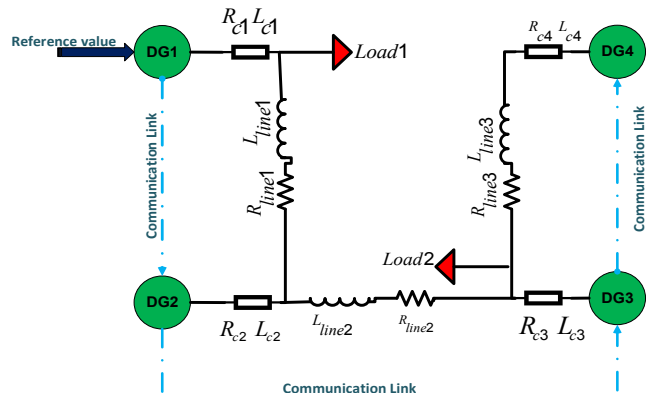
۷- نتایج شبیه سازی

برای شبیه سازی از یک مدل نمونه مطابق [۳۰] و [۳۷] با شکل ۲ استفاده شده و DG1 به عنوان شین مرجع و یا اسلک در نظر گرفته می شود. شبیه سازی در محیط سیمولینک مطلب است. پارامتر این DG ها شامل چهار منبع توزیع شده در جدول ۱ است. L_{ci} و R_{ci} اندوکتانس و مقاومت رابطه های خروجی DG_i هستند. خطوط بین DG ها با یک شاخه RL سری مدل شده و R_{line} و L_{line} مقاومت و اندوکتانس آنها، بارها به صورت K_{PV} و K_{IV} ، K_{PC} ، K_{IC} و K_{load} ضرایب PI کنترل کننده ولتاژ و جریان هستند.

در این مدل ولتاژ مرجع ۳۸۰ ولت، فرکانس ۵۰ هرتز (فرکانس زاویه ای $\omega_{ref} = 2\pi f_{ref} = 314.16 \text{ rad/sec}$) و نیز ضرایب کنترل کننده ثانویه $C_p = C_\omega = C_v = 40$ است. به منظور بررسی دقیق تر DG ها و تحلیل درست آنها سناریوهای مختلف، شبیه سازی می گردد.

سناریوی اول: عملکرد کنترل کننده اولیه و ثانویه بدون خطای سنسوری و عملگری، اختشاش، نویز و حملات سایبری

در ابتدا خروجی بدون وارد کردن اختشاش و یا نامعینی ها در نظر گرفته می شود تا عملکرد کنترل کننده اولیه و ثانویه مشخص گردد. در صورت کنترل ریز شبکه فقط با کنترل کننده اولیه، خروجی ها از مقدار مرجع انحراف خواهند داشت و سنکرون سازی به درستی انجام نمی شود. شکل ۳-الف و ۳-ب خروجی ولتاژ و فرکانس را بدون کنترل کننده ثانویه و صرفاً با کنترل کننده اولیه نشان می دهد.



شکل ۲: مدل نمونه شبیه سازی شده اتصال سیستم قدرتی (خطوط ممتد) به همراه لینک های مخابراتی (خطوط نقطه چین).

قضیه ۱: فرض کنید که G یک درخت پیوسته و حداقل برای یکی از DG ها $g_i \neq 0$ باشد. اگر ورودی کنترلی ثانویه u_{vi}^c با خطای سنسوری و عملگری به صورت $u_{vi}^c = -C_v e_{vi}^c$ باشد در این صورت، خطای $e_{vi}^c = (L+G)\delta^c$ پایدار مجانی است. همچنین ولتاژ خروجی DG ها به v_{ref} سنکرون می شوند.

اثبات: بردار کلی $u_v^c = [u_{v1}^c \ u_{v2}^c \ \dots \ u_{vn}^c]^T = -C_v e_v^c$ تعریف می شود که از معادلات قبلی $u_{vi}^c = u_{vi}^s + \delta_{vi}^a$ به دست می آید. برای اثبات پایداری، تابع کاندیدای لیپانوف به صورت (۳۵) در نظر گرفته می شود

$$\begin{aligned} V &= V_v + V_r \\ V_v &= \frac{1}{\lambda} (e_v^c)^T (D+G) e_v \\ V_r &= \frac{1}{\lambda} (e_v^{sa})^T (D+G) e_v^{sa} \end{aligned} \quad (35)$$

e_v خطای بدون نقص سنسوری و عملگری و e_v^{sa} خطای ناشی از نقص سنسوری و عملگری است. برای اثبات پایداری از تابع لیپانوف مشتق گرفته می شود

$$\begin{aligned} \dot{V} &= \dot{V}_v + \dot{V}_r \\ \dot{V}_v &= (e_v^c)^T (D+G) \dot{e}_v \\ \dot{V}_r &= (e_v^{sa})^T (D+G) \dot{e}_v^{sa} \\ \dot{V}_r &= -C_v (e_v^c)^T (D+G) (L+G) e_v \\ \dot{V}_r &= -C_v (e_v^{sa})^T (D+G) (L+G) e_v^{sa} \end{aligned} \quad (36)$$

$$\begin{cases} e_v = (L+G)\delta = (L+G)(v_{od} - v_{ref}) \\ e_v^{sa} = (L+G)\delta^{sa} = (L+G)(v_{od}^{sa} - v_{ref}^{sa}) \\ \dot{e}_v = (L+G)\dot{\delta} = (L+G)\dot{v}_{od} = (L+G) - C_v e_v \\ \dot{e}_v^{sa} = (L+G)\dot{\delta}^{sa} = (L+G)\dot{v}_{od}^{sa} = (L+G) - C_v e_v^{sa} \end{cases} \quad (37)$$

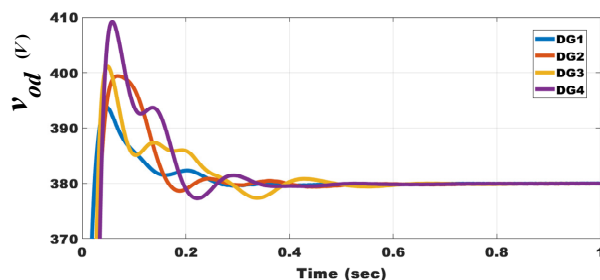
که در معادله بالا $X = (D+G)(L+G)$ در نظر گرفته می شود. هر ماتریس مرتبه ۴ می توان به صورت زیر نوشت

$$X = \frac{1}{2}[X + X^T] + \frac{1}{2}[X - X^T] \quad (38)$$

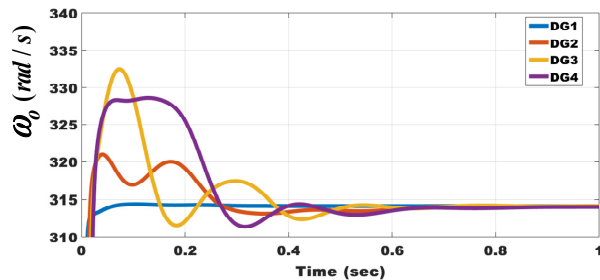
عبارت منفی برای دو عبارت بالا صفر می شود (۰) و $e_v \frac{X - X^T}{2} e_v = 0$

$$(e_v^{sa}) \frac{X - X^T}{2} e_v^{sa} = 0 \quad ; \text{بنابراین}$$

$$\dot{V} = -\frac{C_v}{\lambda} e_v^T (X + X^T) e_v - \frac{C_v}{\lambda} (e_v^{sa})^T (X + X^T) e_v^{sa} \quad (39)$$

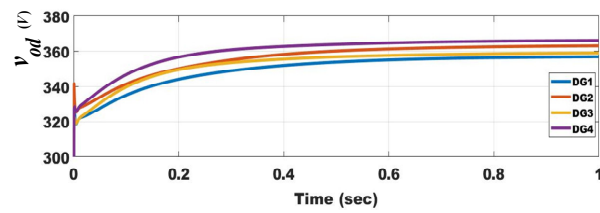


(الف)

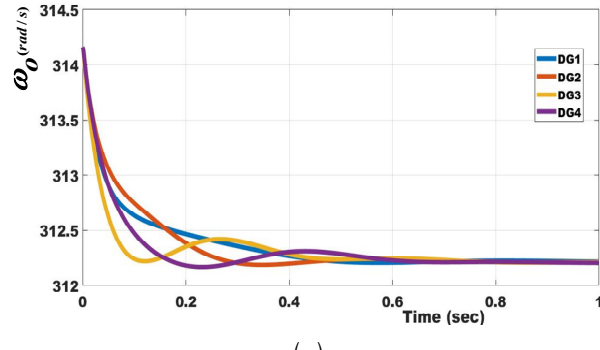


(ب)

شکل ۴: (الف) ولتاژ خروجی و (ب) فرکانس زاویه‌ای خروجی DG‌ها بدون حمله سایبری، اغتشاش و نویز.



(الف)



(ب)

شکل ۳: (الف) خروجی ولتاژ و (ب) خروجی فرکانس ریزشیکه با کنترل کننده اولیه بدون کنترل کننده ثانویه.

جدول ۱: مقادیر پارامترهای مدل نمونه شبیه‌سازی شده [۳۷].

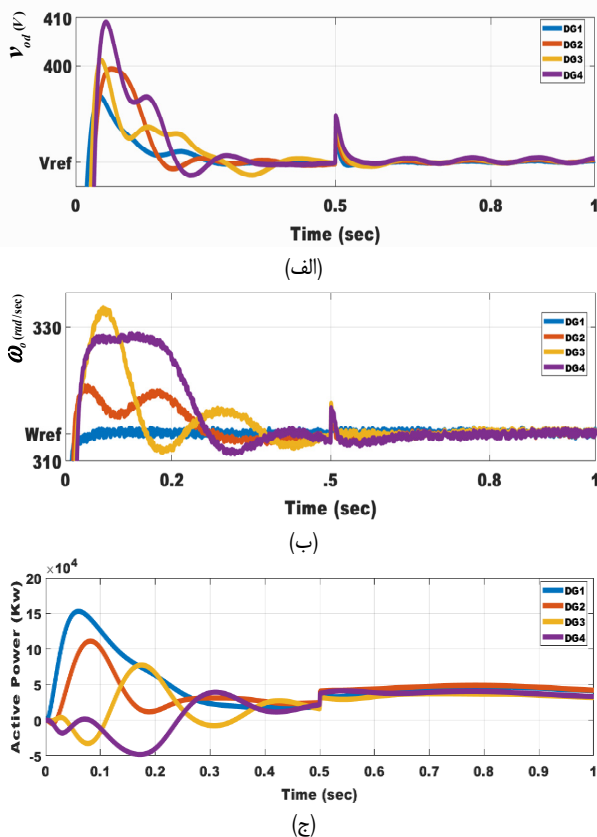
	DG1 & DG2		DG3 & DG4	
DGs	m_p	9.4×10^{-5}	m_p	12.5×10^{-5}
	n_q	1.3×10^{-5}	n_q	1.5×10^{-5}
	R_c	0.03Ω	R_c	0.03Ω
	L_c	0.35 mH	L_c	0.35 mH
	K_{PV}	۱	K_{PV}	۱
	K_{IV}	۴	K_{IV}	۴
	K_{PC}	۱۵	K_{PC}	۱۰۵
	K_{IC}	۲۰۰	K_{IC}	۱۶۰
Lines				
Lines	R_{line}	0.23	R_{line}	0.35
	L_{line}	0.318 mH	L_{line}	1.847 mH
Load				
Loads	P_{load}	۱۲ Kw	P_{load}	۱۵.۳ Kw
	Q_{load}	۱۲ Kvar	Q_{load}	۷.۶ Kvar

سناریوی دوم: خط‌ای سنسوری ولتاژ در ۱ و DG3

به منظور بررسی اثرات خط‌ای و تأثیر موقعیت منابع تولید پراکنده در خط‌ای سنسوری و عملکری، موقعیت‌های مختلف بررسی گردیده و نتایج در شکل ۵ آمده است. با توجه به شکل در این سناریو در $t = 0.5 \text{ sec}$ خط‌ای سنسوری ولتاژ با اندازه $v = 10 + 3 \sin(10t) \delta^\circ$ در DG1 وارد شده و همین خط‌ای در $t = 1 \text{ sec}$ در سنسور ولتاژ DG3 وارد می‌گردد. با توجه به شکل، هنگامی که خط‌ای سنسوری در DG1 اتفاق می‌افتد، اثر این حمله در DG1 بیشتر از بقیه DG‌ها است و به ترتیب DG2، DG3 و DG4 اثرات بیشتری از خط‌ای را می‌پذیرند و خط‌ای سنسوری، DG‌های هم‌چووار را بیشتر تحت تأثیر قرار می‌دهد. با توجه به نتایج شبیه‌سازی، خط‌ای در سنسور ولتاژ بر فرکانس خروجی DG‌ها نیز تأثیر کمی دارد. در این سناریو همه DG‌ها توانسته‌اند با وجود خط‌ای سنسوری به پایداری برستند و سنکرون‌سازی نیز در زمان مناسبی انجام پذیرد.

با توجه به نتایج شبیه‌سازی، ولتاژ افت شدید دارد و سنکرون‌سازی نیز در این حالت انجام نشده و همچنین فرکانس و ولتاژ، انحراف پیدا کرده‌اند. با توجه به اینکه فرکانس بسیار به انحراف حساس است، بنابراین انحراف قابل قبول نیست؛ در نتیجه کم کردن انحراف در این حالت ضروری است. همچنین در این حالت سیستم به نویز، اغتشاش و دینامیک مدل نشده حساس است. کنترل کننده اولیه، پایداری سیستم را تا حد زیادی ایجاد کرده است؛ اما نتوانسته سنکرون‌سازی را به درستی انجام دهد.

شکل ۴ کنترل ولتاژ و فرکانس توسط کنترل کننده اولیه و ثانویه را نشان می‌دهد. با توجه به شکل ۴ این کنترل کننده توانسته که به خوبی فرکانس و ولتاژ را به حالت مرجع خود برگرداند و در رنج ولتاژ و فرکانسی بسیار خوبی قرار دهد. زمان عبور از حالت گذرا کمتر از 0.3 ثانیه بوده که زمان مناسبی می‌باشد و همچنین سنکرون‌سازی بسیار خوب انجام شده است. در سنکرون‌سازی، خط‌ای ماندگار حدود ۳ درصد برای ولتاژ نامی و برای فرکانس نیز 0.3 درصد قابل قبول می‌باشد.

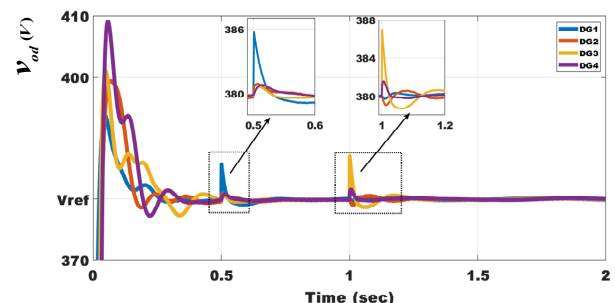


شکل ۷: (الف) ولتاژ، (ب) فرکانس و (ج) توان خروجی DGها با خطای سنسوری و عملگری در همه DGها.

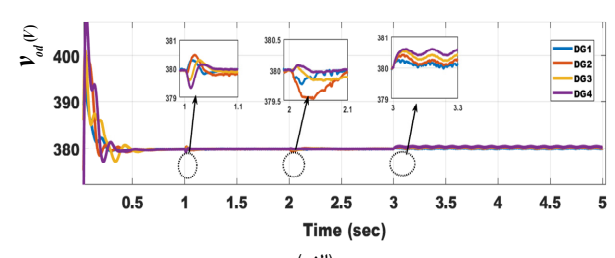
نیز انجام دهد. نکته دیگر اینکه خطای سنسوری فرکانس بر روی ولتاژ خروجی نیز تأثیر می‌گذارد و باعث تغییرات در ولتاژ DGها می‌گردد؛ به این معنی که خطای در فرکانس و ولتاژ بر روی همدیگر اثر دارند. خطای سنسوری توان نیز در همه DGها اتفاق افتاده است ولی به دلیل ضریب کوچک m_p تأثیر کمی در تغییر فرکانس و ولتاژ دارد و حتی با خطاهای سنسوری بزرگ در توان نیز مقادیر ولتاژ و فرکانس در رنج قابل قبولی کنترل می‌شود. هرقدر ضریب m_p بزرگ‌تر باشد اثر خطای سنسوری توان در خروجی بیشتر می‌گردد. نتایج شبیه‌سازی خطای عملگری نشان می‌دهد با توجه به آنکه این خطای توسط لایه ثانویه کنترل می‌شود، تأثیر کمتری در خروجی‌های ولتاژ و فرکانس دارد. البته نکته مهم آن است علی‌رغم اینکه در خطای عملگری سنکرون‌سازی انجام می‌شود ولی این مقادیر با مقدار مرجع، اختلاف کمی پیدا می‌کنند.

سناریوی چهارم: خطای سنسوری و عملگری در همه سنسورها و با درنظر گرفتن نویز سنسوری

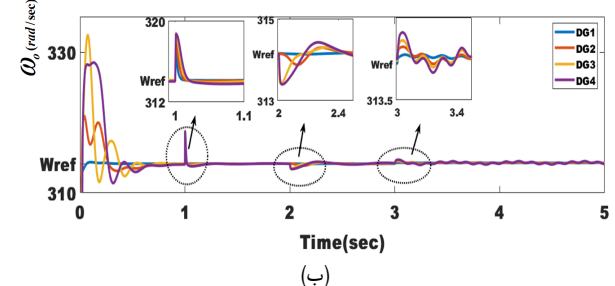
برای تحلیل بهتر خطای سنسوری و عملگری در بدترین حالت، این خطای در همه سنسورهای ولتاژ، فرکانس، توان و همه عملگر شده است. در شکل ۷ نحوه انعطاف‌پذیری و مقاومت کنترل کننده در مقابل این اختلالات آمده است. خطای به همه سنسورها و عملگرها در $t = 0.5\text{ sec}$ و $t = 1\text{ sec}$ با مقادیر سناریوهای قبلی وارد شده است. در این سناریو، توان اکتیو نیز در شبیه‌سازی، بررسی گردیده تا توانایی کنترل کننده اولیه در تقسیم توان مشخص شود. همچنین برای بررسی توانایی کنترل کننده، نویز سنسوری نیز برای سنسورهای فرکانس به صورت تصادفی با میانگین صفر و با دامنه یک در نظر گرفته شده است. با توجه به نتایج شکل ۷، کنترل کننده توانسته که به خوبی پایدار بماند و فرکانس و ولتاژ همه DGها به مرجع رسیده‌اند و خطای حالت ماندگار سیستم، صفر و سنکرون‌سازی عامل‌ها نیز



شکل ۵: (الف) ولتاژ و (ب) فرکانس خروجی با خطای سنسوری ولتاژ در DG1 و DG3.



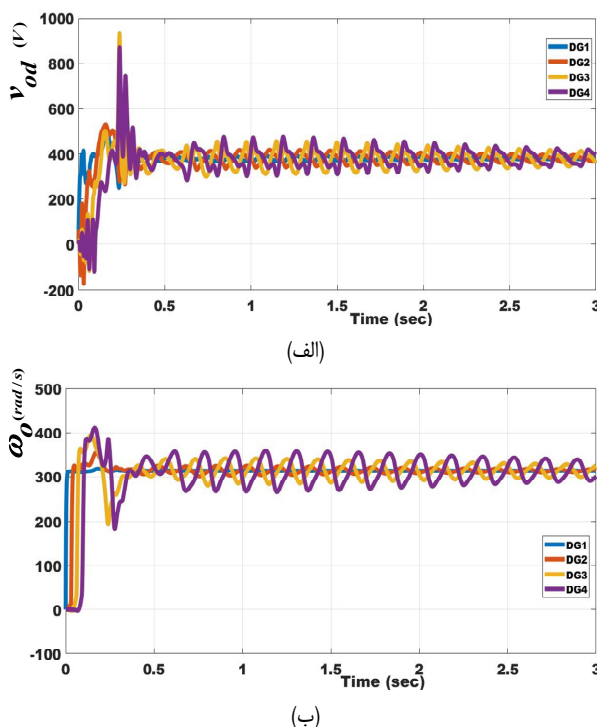
شکل ۶: (الف) ولتاژ و (ب) فرکانس خروجی با خطای سنسوری فرکانس و توان و خطای عملگری در همه DGها.



شکل ۶: (الف) ولتاژ و (ب) فرکانس خروجی با خطای سنسوری فرکانس و توان و خطای عملگری در همه DGها.

سناریوی سوم: خطای سنسوری فرکانس و توان و خطای عملگری
در این سناریو به منظور نشان دادن کارایی کنترل کننده در پایدارسازی و سنکرون‌سازی، خطاهای مختلف و در زمان‌های متفاوت در ریزشبکه وارد گردیده است. در $t = 1\text{ sec}$ خطای سنسوری فرکانس به صورت $\delta_{fi}^s = 5 + 0.5 \sin(10t)\text{ Hz}$ و در $t = 2\text{ sec}$ $\delta_{fi}^s = 5 + 0.5 \sin(10t)\text{ Hz}$ به صورت $\delta_{pi}^s = 20 + 4 \sin(10t)\text{ Kw}$ و در همه DGها $\delta_{fi}^u = \delta_{vi}^u = 50 + 10 \sin(50t)$ در همه عملگرها وارد سیستم می‌گردد. شکل ۶ نتیجه این شبیه‌سازی را نشان می‌دهد. با توجه به نتایج خطای سنسوری، فرکانس تأثیر بیشتری در ریزشبکه دارد و رنج تغییرات قبل تحمل خطای فرکانس از ولتاژ کمتر است.

در عمل نیز ریزشبکه‌ها تغییرات فرکانسی محدودی را تحمل می‌کنند و رنج مقاومت فرکانس حدود 0.3 sec درصد است. هرچند این کنترل کننده به خوبی توانسته با وجود خطاهای سنسوری در رنج معلومی در کمتر از یک ثانیه، خروجی‌ها را به مقدار مرجع برساند و همچنین سنکرون‌سازی را



شکل ۹: عملکرد سیستم با تأخیر ۳۰ میلی ثانیه.

تأخير با توجه به نتایج بالا بسیار در پایداری و سنکرون سازی سیستم ریز شبکه مؤثر است؛ بهنحوی که اگر تأخیر افزایش یابد ممکن است که سیستم به ناپایداری برود. همچنین با افزایش تأخیر حتی اگر پایداری تضمین شود، سنکرون سازی در زمان بیشتری اتفاق خواهد افتاد و یا بعضًا با مشکل مواجه می شود. لازم به ذکر است که تأخیرهای ریز شبکه حداقل ۱۰ میلی ثانیه است و بنابراین روش ارائه شده توانسته که تأخیر را در ریز شبکه کنترل کند.

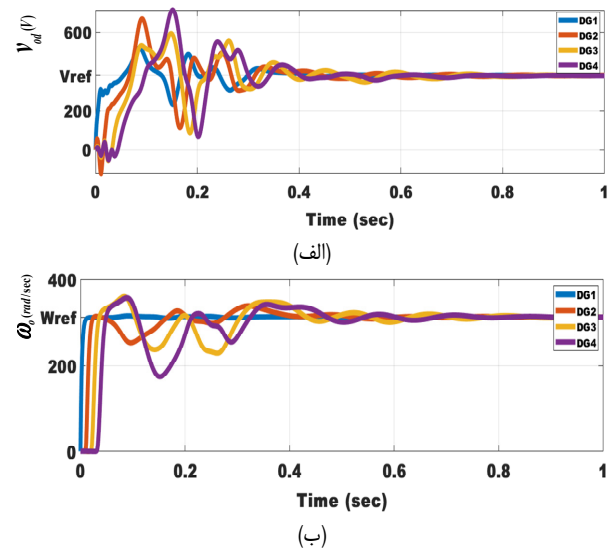
سناریوی هفتم: مقایسه حمله سایبری سنسوری و عملگری با خط و نقص در سنسورها و عملگرها

حمله سنسوری و عملگری و خط از نظر عملکرد تقریباً نتایج یکسان دارند و دو روی یک سکه هستند (همان طور که اشاره شد، حمله در لینک ارتباطی و خط در سنسور و عملگر اتفاق می افتد)؛ ولی اگر مقدار نرمال حمله و خط در نظر گرفته شود قیاس این دو امکان پذیر است. مقدار نرمال خطای سنسوری و لولتاز با دامنه $t = 0,5 \text{ sec}$ در $\delta_{v_i}^s = 10$ در $t = 1 \text{ sec}$ به سیستم وارد شده و حمله سنسوری 20 درصد خروجی و در $t = 10 \text{ sec}$ و برای همه سنسورها در نظر گرفته شده است. نتیجه شبیه سازی در شکل ۱۰ آمده است. به منظور مقایسه، حمله و خط در سنسورهای و لولتاز وارد شده اند که با توجه به شکل، اثر خطای سنسوری کمتر است و حمله سنسوری با توجه به هوشمند بودنش تأثیر بیشتری دارد. همچنین تأثیر هر دو در تغییر فرکانس کم می باشد و به این معنی است که کنترل لولتاز و فرکانس اثر کمی در هم دیگر دارند.

سناریوی هشتم: مقایسه حمله سایبری روبون اطلاعات با تزریق داده غلط به سنسورها

در حمله روبون، اطلاعات مقادیر خروجی حذف شده و با مقدار جدید ناشی از حمله جایگزین می گردد. فرمول زیر اثر حمله روبون اطلاعات را نشان می دهد

$$x^c(t) = (1 - \alpha)x(t) + \alpha x^a(t) \quad (43)$$



شکل ۸: (الف) ولتاژ و (ب) فرکانس خروجی DGها با تأخیر سنسوری و عملگری در خطوط ارتباطی.

انجام شده است. در این حالت دروب توانسته که توانها را به درستی بین DGها تقسیم کند. نویز سنسوری فرکانس فقط در خروجی فرکانس به مقدار کمی وارد شده و در ولتاژ و توان تأثیری ندارد.

سناریوی پنجم: درنظر گرفتن تأخیر در کانالهای ارتباطی

یکی از مشکلات همیشگی کانالهای ارتباطی، تأخیر است. تأخیر به عوامل متعددی مانند ظرفیت انتقال لینک، تأخیر ارسال به نزد ارسال، طول پیام و تأخیر دسترسی به کانال بستگی دارد. در کنترل ثانویه، اطلاعاتی که به کنترل کننده اولیه فرستاده می شود ممکن است دارای تأخیر باشد. تأخیر می تواند در این حالت ثابت، تصادفی یا محدود باشد. نکته مهم در مورد تأخیر این است که مسئله تأخیر در ریز شبکه ها معمولاً حداقل ۱۰ میلی ثانیه است. تأخیر زمانی ناشی از تأخیر پردازش، انتقال و محاسبه است. ماکسیمم تأخیر قابل تحمل، حداقل مقداری می تواند باشد که باعث از بین رفت پایداری نشود. تأخیر در دو مکان و به دو صورت ممکن است اتفاق بیفتد:

- در محل تبادل اطلاعات بین دو ریز شبکه هم جوار

- در محل بین کنترل کننده ثانویه و اولیه

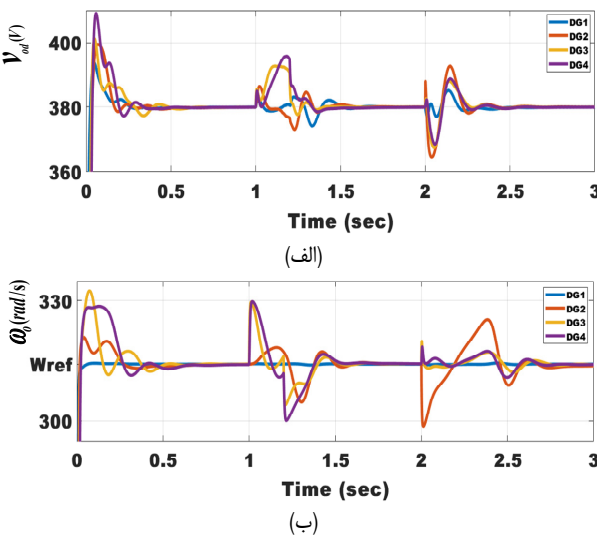
می توان هر دو تأخیر را به صورت جداگانه بحث کرد و یا هر دو را با هم، یک تأخیر بکار چه در نظر گرفت. در ریز شبکه، تأخیر بکار چه در نظر گرفته شده و معادله تأخیر سیستم DG به صورت یکجا و ثابت با زمان در (۴۲) آمده است

$$u_{vi}(t) = -C_v e_{vi}(t) = -C_v \sum a_{ij} (v_{oi}(t) - v_{oj}(t - \tau)) + g_i (v_{oi}(t) - v_{ref}) \quad (42)$$

که τ تأخیر سیستم در انتقال اطلاعات از یک DG به هم جوار است. شکل ۸ اثر تأخیر 10 msec در ریز شبکه را نشان داده است. با توجه به نتایج شبیه سازی، تأخیر تأثیر زیادی در مباحث پایداری و سنکرون سازی ریز شبکه دارد. البته روش کنترلی توانسته حدود $10/5$ ثانیه سنکرون سازی و پایدارسازی را با تأخیر محدود انجام دهد؛ ولی در زمان های اولیه، افزایش ناگهانی فرکانس و ولتاژ مطلوب نیست.

سناریوی ششم: تأخیر ۳۰ میلی ثانیه

تأخیر برای درک بهتر مسئله، بیشتر در نظر گرفته می شود که در این حالت، ۳۰ میلی ثانیه می باشد. نتایج شبیه سازی در شکل ۹ آمده است.

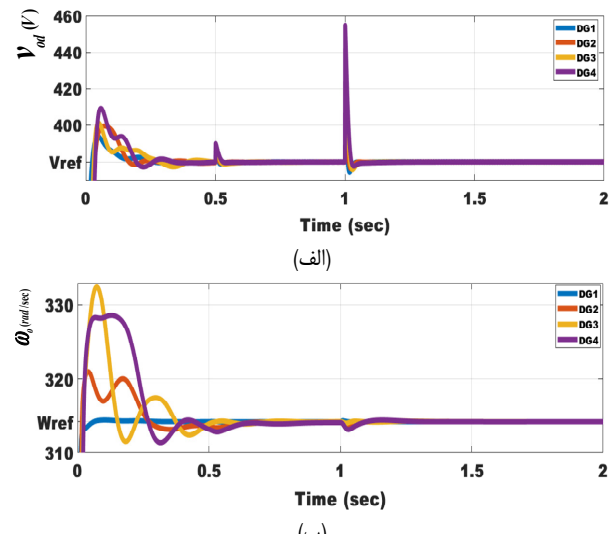


شکل ۱۱: مقایسه اثر حمله سایبری رودن اطلاعات و خطای سنسوری ولتاژ.

پایدارسازی و سنکرون‌سازی منابع تولید پراکنده با تعریف قضیه‌های جدید بحث گردید. از کنترل کننده سلسه‌مراتبی توزیع شده اشتراکی که شامل کنترل کننده اولیه و ثانویه است برای کنترل DG‌ها استفاده شده و نتایج نشان می‌دهند که کنترل کننده، پایداری و سنکرون‌سازی را با وجود خطای سنسوری و عملگری تضمین می‌کند و قوانین سیستم‌های چندعامله ریموند با این کنترل کننده رعایت می‌گردد. بهمنظور مشخص کردن اثرات خطای سنسوری و عملگری بر DG‌ها، پایداری، عملکرد مقاوم و انعطاف‌پذیری کنترل کننده، فرمول‌بندی مناسب در معادلات ریزش‌بکه انجام شده است.تابع لیاضنوف مناسب برای تحلیل پایداری سیستم باحضور خطای سنسوری و عملگری پیشنهاد گردیده و نیز سنکرون‌سازی سیستم با کنترل کننده سلسه‌مراتبی توزیع شده اثبات گردیده است. نهایتاً برای اطمینان از نتایج تئوری ارائه شده با استفاده از شبیه‌سازی در متلب/سیمولینک، اثر خطا در DG‌های مختلف نشان داده شده است. اثر خطای سنسوری با توجه به ماتریس مجاورت، تأثیرهای متفاوتی بر DG‌های مختلف دارد و موقعیت DG در تأثیر خطا بر پایداری و سنکرون‌سازی مؤثر است. DG‌های هم‌جوار که از هم اطلاعات می‌گیرند، تأثیر بیشتری بر هم دارند و هرقدر با هم فاصله داشته باشند و مستقیم از هم اطلاعات نگیرند، تأثیر پذیری کمتر می‌شود. نکته مهم دیگر اینکه خطای سنسوری فرکانس، تأثیر زیادی در ناپایداری ریزش‌بکه دارد و رنج خطای سنسوری در فرکانس، محدودتر از ولتاژ است. خطای سنسوری توان و خطای عملگری، تأثیر کمی در سیستم دارند. همچنین در شبیه‌سازی، حمله سایبری سنسوری و عملگری، حمله رودن اطلاعات و خطای سنسوری و عملگری با هم مقایسه شده است. نتایج شبیه‌سازی نشان می‌دهند که کنترل حمله سایبری از خطأ و نقص سنسوری، مشکل تر و همچنین رنج تغییرات نقص سنسوری از حمله‌های سایبری بیشتر است. بهمنظور بررسی مشکلات کانال‌های ارتباطی و عملکرد کنترل کننده، اثر تأثیر نیز در ریزش‌بکه شبیه‌سازی شده است. نتایج نشان می‌دهند که تأخیر، تأثیر زیادی در بحث پایداری و سنکرون‌سازی ریزش‌بکه دارد.

مراجع

- [1] L. Meng, et al., "Review on control of DC microgrids and multiple microgrid clusters," *IEEE J. of Emerging and Selected Topics in Power Electronics*, vol. 5, no. 3, pp. 928-948, Sept. 2017.
- [2] A. Bidram and A. Davoudi, "Hierarchical structure of microgrids control system," *IEEE Trans. on Smart Grid*, vol. 3, no. 4, pp. 1963-1976, Dec. 2012.



شکل ۱۰: (الف) ولتاژ و (ب) فرکانس خروجی DG‌ها در مقایسه اثر حمله سایبری و خطای سنسوری ولتاژ.

در این رابطه اگر $\alpha = 0$ باشد، حمله اتفاق نیفتاده و اگر $\alpha = 1$ باشد به این معنی است که حمله سایبری رودن اطلاعات وجود دارد. $x^c(t)$ و $x^a(t)$ به ترتیب سیگنال مختلط شده، سیگنال بدون حمله و سیگنال حمله است [۴۳].

بهمنظور مقایسه حمله سایبری رودن اطلاعات و تزریق داده غلط سنسوری باید دقت شود که از نظر عملکرد این دو نوع با هم تفاوت دارند و همان طور که اشاره شد، حمله سایبری در لینک ارتباطی بین DG‌ها اتفاق می‌افتد و تزریق داده غلط در سنسور و عملگر ایجاد می‌گردد. ولی اگر مقدار نرمال حمله و تزریق داده غلط در نظر گرفته شود، قیاس این دو و اثرشان بر سیستم امکان‌پذیر است. بهمنظور مقایسه، تزریق داده غلط سنسوری در DG2 در نظر گرفته شده تا مقدار منتقل شده به DG3 قابل مقایسه با حمله سایبری رودن اطلاعات بین کانال ارتباطی ۲ و DG3 باشد.

تزریق داده غلط با (۲۱) و (۲۲) و حمله رودن اطلاعات با (۴۳) تعریف می‌گردد و برای ولتاژ، فرکانس با (۴۴) در معادلات وارد می‌گردد

$$\begin{cases} v_{oj}^c(t) = (1-\alpha)v_{oj}(t) + \alpha v_{oj}^a(t) \\ \omega_{oj}^c(t) = (1-\alpha)\omega_{oj}(t) + \alpha \omega_{oj}^a(t) \end{cases} \quad (44)$$

در تزریق داده غلط، δ_{vi}^s و δ_{oi}^s مقداری غلط داده سنسوری ولتاژ فرکانس هستند که به DG2 وارد می‌گردند. داده غلط تزریق داده سنسوری ولتاژ با دامنه $v = 10\sqrt{2}$ و سنسوری فرکانس $\omega = 16\text{ rad/sec}$ در لحظه $t = 2\text{ sec}$ به سیستم وارد می‌شود. حمله رودن اطلاعات با مقدار ولتاژ $v_{adj}^a = 390\text{ V}$ و فرکانس $\omega_{adj}^a = 330\text{ rad/sec}$ در کانال ارتباطی بین DG2 و DG3 در نظر گرفته شده است.

نتیجه شبیه‌سازی در شکل ۱۱ آمده است. حمله سایبری رودن اطلاعات نسبت به تزریق داده غلط سنسوری در زمان بیشتری به حالت سنکرون برمی‌گردد و به عبارتی، پایداری، سنکرون‌سازی و حمله سایبری سخت‌تر است. دلیل اصلی آن است که حمله سایبری، هوشمند و کنترل آن نسبت به تزریق داده غلط که هوشمندی ندارد مشکل‌تر است.

- نتیجه‌گیری

در این مقاله با درنظر گرفتن DG‌ها به صورت سیستم‌های چندعامله، اثر خطای سایبری سنسوری و عملگری بر ریزش‌بکه بحث گردیده است.

- Applications, ICIEA'20*, pp. 170-175, Kristiansand, Norway, 9-13 Nov. 2020.
- [23] R. Lu and J. Wang, "Distributed control for AC microgrids with false data injection attacks and time delays," in *Proc. E3S Web of Conf.*, vol. 194, Article ID: 03023, 2020.
- [24] N. M. Dehkordi and S. Z. Mousavi, "Distributed resilient adaptive control of islanded microgrids under sensor/actuator faults," *IEEE Trans. on Smart Grid*, vol. 11, no. 3, pp. 2699-2708, May 2019.
- [25] Z. Xie and Z. Wu, "Distributed fault-tolerant secondary control for DC microgrids against false data injection attacks," *International J. of Electrical Power & Energy Systems*, vol. 144, Article ID: 108599, Jan. 2023.
- [26] A. Karimi, A. Ahmadi, Z. Shahbazi, H. Bevrani, and Q. Shafiee, "On the impact of cyber-attacks on distributed secondary control of DC microgrids," in *Proc. 10th Smart Grid Conf., SGC'2020*, 6 pp., Kashan, Iran, 16-17 Dec. 2020.
- [27] X. Chen, J. Zhou, M. Shi, Y. Chen, and J. Wen, "Distributed resilient control against denial of service attacks in DC microgrids with constant power load," *Renewable and Sustainable Energy Reviews*, vol. 153, Article ID: 111792, Jan. 2022.
- [28] N. Pogaku, M. Prodanovic, and T. C. Green, "Modeling, analysis and testing of autonomous operation of an inverter-based microgrid," *IEEE Trans. on Power Electronics*, vol. 22, no. 2, pp. 613-625, Mar. 2007.
- [29] Q. Shafiee, J. M. Guerrero, and J. C. Vasquez, "Distributed secondary control for islanded microgrids-a novel approach," *IEEE Trans. on Power Electronics*, vol. 29, no. 2, pp. 1018-1031, Feb. 2013.
- [30] A. Bidram, A. Davoudi, F. L. Lewis, and Z. Qu, "Secondary control of microgrids based on distributed cooperative control of multi-agent systems," *IET Generation, Transmission & Distribution*, vol. 7, no. 8, pp. 822-831, Aug. 2013.
- [31] A. Bidram, A. Davoudi, F. L. Lewis, and J. M. Guerrero, "Distributed cooperative secondary control of microgrids using feedback linearization," *IEEE Trans. on Power Systems*, vol. 28, no. 3, pp. 3462-3470, Aug. 2013.
- [32] J. W. Simpson-Porco, et al., "Secondary frequency and voltage control of islanded microgrids via distributed averaging," *IEEE Trans. on Industrial Electronics*, vol. 62, no. 11, pp. 7025-7038, Nov. 2015.
- [33] F. Guo, C. Wen, J. Mao, J. Chen, and Y. D. Song, "Distributed cooperative secondary control for voltage unbalance compensation in an islanded microgrid," *IEEE Trans. on Industrial Informatics*, vol. 11, no. 5, pp. 1078-1088, Oct. 2015.
- [34] H. Cai, F. L. Lewis, G. Hu, and J. Huang, "The adaptive distributed observer approach to the cooperative output regulation of linear multi-agent systems," *Automatica*, vol. 75, pp. 299-305, Jan. 2017.
- [35] F. L. Lewis, H. Zhang, K. Hengster-Movric, and A. Das, *Cooperative Control of Multi-Agent Systems Optimal and Adaptive Design Approaches*, SpringerLink, 2014.
- [36] A. Mustafa, H. Modares, and R. Moghadam, "Resilient synchronization of distributed multi-agent systems under attacks," *Automatica*, vol. 115, Article ID: 108869, May 2020.
- [37] A. Bidram, F. L. Lewis, and A. Davoudi, "Distributed control systems for small-scale power networks: using multiagent cooperative control theory," *IEEE Control Systems Magazine*, vol. 34, no. 6, pp. 56-77, Dec. 2014.
- [38] F. D. Mohammadi, H. K. Vanashi, and A. Feliachi, "State-space modeling, analysis, and distributed secondary frequency control of isolated microgrids," *IEEE Trans. on Energy Conversion*, vol. 33, no. 1, pp. 155-165, Mar. 2017.
- [39] D. Ding, Q. L. Han, Y. Xiang, X. Ge, and X. M. Zhang, "A survey on security control and attack detection for industrial cyber-physical systems," *Neurocomputing*, vol. 275, pp. 1674-1683, 31 Jan. 2018.
- [40] A. Kazemy, J. Lam, and Z. Chang, "Adaptive event-triggered mechanism for networked control systems under deception attacks with uncertain occurring probability," *International J. of Systems Science*, vol. 2020, pp. 1426-1439, 2020.
- [41] C. Chen, et al., "Resilient adaptive and H_∞ controls of multi-agent systems under sensor and actuator faults," *Automatica*, vol. 102, pp. 19-26, Apr. 2019.
- [42] H. Zhang, F. L. Lewis, and A. Das, "Optimal design for synchronization of cooperative systems: state feedback, observer and output feedback," *IEEE Trans. on Automatic Control*, vol. 56, no. 8, pp. 1948-1952, Aug. 2011.
- [43] S. Sahoo, J. C. H. Peng, S. Mishra, and T. Dragičević, "Distributed screening of hijacking attacks in DC microgrids," *IEEE Trans. on Power Electronics*, vol. 35, no. 7, pp. 7574-7582, Jul. 2019.
- [3] M. Chen, X. Xiao, and J. M. Guerrero, "Secondary restoration control of islanded microgrids with a decentralized event-triggered strategy," *IEEE Trans. on Industrial Informatics*, vol. 14, no. 9, pp. 3870-3880, Sept. 2017.
- [4] A. Mirzabeigi, A. Kazemy, M. Ramezani, and S. M. Azimi, "Distributed robust cooperative hierarchical control for island microgrids under hijacking attacks based on multi-agent systems," *Hindawi International Trans. on Electrical Energy Systems*, vol. 2023, Article ID 6622346, 15 pp., 2023.
- [۵] ع. میرزا بیگی، ع. کاظمی، م. رمضانی، و س. م. عظیمی "طراحی کنترل کننده ثانویه پایه ریزی شده بر روی کنترل اشتراکی توزیع شده متابع تولید پراکنده (DoS) با رویکرد سیستم های چندعامله با درنظر گرفتن حملات سایبری نشریه مهندسی برق و مهندسی کامپیوتر ایران، الف- مهندسی برق، سال ۲۰، شماره ۴، صص. ۲۹۰-۲۸۲-۲۸۱، زمستان ۱۴۰۱.
- [6] H. Modares, B. Kiumarsi, F. L. Lewis, F. Ferrese, and A. Davoudi, "Resilient and robust synchronization of multiagent systems under attacks on sensors and actuators," *IEEE Trans. on Cybernetics*, vol. 50, no. 3, pp. 1240-1250, Mar. 2019.
- [7] X. M. Zhang, Q. L. Han, X. Ge, and L. Ding, "Resilient control design based on a sampled-data model for a class of networked control systems under denial-of-service attacks," *IEEE Trans. on Cybernetics*, vol. 50, no. 8, pp. 3616-3626, Aug. 2019.
- [8] A. Teixeira, D. Pérez, H. Sandberg, and K. H. Johansson, "Attack models and scenarios for networked control systems," in *Proc. of the 1st Int. Conf. on High Confidence Networked Systems, HiCoNS'12*, pp. 55-64, Beijing, China, 17-18 Apr. 2012.
- [9] E. Mousavinejad, F. Yang, Q. L. Han, and L. Vlacic, "A novel cyber attack detection method in networked control systems," *IEEE Trans. on Cybernetics*, vol. 48, no. 11, pp. 3254-3264, Nov. 2018.
- [10] S. Tan, P. Xie, J. M. Guerrero, and J. C. Vasquez, "False data injection cyber-attacks detection for multiple DC microgrid clusters," *Applied Energy*, vol. 310, Article ID: 118425, 15 Mar. 2022.
- [11] B. Wang, Q. Sun, R. Han, and D. Ma, "Consensus-based secondary frequency control under denial-of-service attacks of distributed generations for microgrids," *J. of the Franklin Institute*, vol. 358, no. 1, pp. 114-130, Jan. 2019.
- [12] M. Xie, Y. Song, and S. Shen, "Event-based consensus control for multi-agent systems against joint sensor and actuator attacks," *ISA Trans.*, vol. 127, pp. 156-167, Aug. 2022.
- [13] H. Yan, J. Han, H. Zhang, X. Zhan, and Y. Wang, "Adaptive event-triggered predictive control for finite time microgrid," *IEEE Trans. on Circuits and Systems I: Regular Papers*, vol. 67, no. 3, pp. 1035-1044, Mar. 2020.
- [14] M. Shi, X. Chen, M. Shahidehpour, Q. Zhou, and J. Wen, "Observer-based resilient integrated distributed control against cyberattacks on sensors and actuators in islanded AC microgrids," *IEEE Trans. on Smart Grid*, vol. 12, no. 3, pp. 1953-1963, May 2021.
- [15] X. Lu, X. Yu, J. Lai, J. M. Guerrero, and H. Zhou, "Distributed secondary voltage and frequency control for islanded microgrids with uncertain communication links," *IEEE Trans. on Industrial Informatics*, vol. 13, no. 2, pp. 448-460, Apr. 2016.
- [16] J. Lai, H. Zhou, X. Lu, X. Yu, and W. Hu, "Droop-based distributed cooperative control for microgrids with time-varying delays," *IEEE Trans. on Smart Grid*, vol. 7, no. 4, pp. 1775-1789, Jul. 2016.
- [17] H. Xin, Z. Qu, J. Seuss, and A. Maknouminejad, "A self-organizing strategy for power flow control of photovoltaic generators in a distribution network," *IEEE Trans. on Power Systems*, vol. 26, no. 3, pp. 1462-1473, Aug. 2010.
- [18] S. Abhinav, I. D. Schizas, F. L. Lewis, and A. Davoudi, "Distributed noise-resilient networked synchrony of active distribution systems," *IEEE Trans. on Smart Grid*, vol. 9, no. 2, pp. 836-846, Mar. 2016.
- [19] D. Ye, X. Zhao, and B. Cao, "Distributed adaptive fault-tolerant consensus tracking of multi-agent systems against time-varying actuator faults," *IET Control Theory & Applications*, vol. 10, no. 5, pp. 554-563, Mar. 2016.
- [20] Y. Wang, Y. Song, and F. L. Lewis, "Robust adaptive fault-tolerant control of multiagent systems with uncertain nonidentical dynamics and undetectable actuation failures," *IEEE Trans. on Industrial Electronics*, vol. 62, no. 6, pp. 3978-3988, Jun. 2015.
- [21] S. Zuo, T. Altun, F. L. Lewis, and A. Davoudi, "Distributed resilient secondary control of DC microgrids against unbounded attacks," *IEEE Trans. on Smart Grid*, vol. 11, no. 5, pp. 3850-3859, Sept. 2020.
- [22] B. Wang, Q. Sun, and D. Ma, "A periodic event-triggering reactive power sharing control in an islanded microgrid considering DoS attacks," in *Proc. 15th IEEE Conf. on Industrial Electronics and*

مهدی رمضانی در سال ۱۳۷۲ مدرک کارشناسی ریاضی کامپیوتر خود را از دانشگاه صنعتی امیرکبیر و در سال ۱۳۷۵ مدرک کارشناسی ارشد ریاضی کاربردی آنالیز عددی خود را از دانشگاه علم و صنعت ایران دریافت نمود. در سال ۱۳۸۵ مدرک دکتری ریاضی کاربردی کنترل بهینه خود را از دانشگاه امیرکبیر دریافت نمود و هم‌اکنون استادیار ریاضی دانشگاه تفرش می‌باشد. زمینه‌های تحقیقاتی مورد علاقه ایشان عبارتند از: کنترل بهینه، کنترل تصادفی، شناسایی سیستم و آنالیز عددی.

سیدمحمد عظیمی تحصیلات خود را در مقاطع کارشناسی ارشد و دکتری برق قدرت بهترتب در سال‌های ۱۳۸۵ و ۱۳۹۵ از دانشگاه تهران به پایان رسانده است و هم‌اکنون دانشیار دانشکده مهندسی برق دانشگاه صنعتی همدان می‌باشد. زمینه‌های تحقیقاتی مورد علاقه ایشان عبارتند از: ریزشکه، کنترل و پایداری در ریزشکه‌ها و سیستم‌های قدرت.

عبدالله میرزاویگی تحصیلات خود را در مقاطع کارشناسی مهندسی برق الکترونیک در سال ۱۳۸۲ از دانشگاه تبریز، کارشناسی ارشد مهندسی برق کنترل در سال ۱۳۸۵ از دانشگاه علم و صنعت ایران و دکتری مهندسی برق کنترل از دانشگاه تفرش را در سال ۱۴۰۲ به پایان رسانده است. از سال ۱۳۸۷ به عنوان عضو هیأت علمی در موسسه آموزش عالی جهاد دانشگاهی همدان مشغول به فعالیت می‌باشد. زمینه‌های تحقیقاتی مورد علاقه ایشان عبارتند از: ریزشکه، آنالیز و کنترل سیستم‌های با تاخیر زمانی، سیستم‌های چندعامله و حملات سایبری.

علی کاظمی تحصیلات خود را در مقاطع کارشناسی ارشد و دکتری مهندسی برق کنترل بهترتب در سال‌های ۱۳۸۶ و ۱۳۹۲ از دانشگاه علم و صنعت ایران به پایان رسانده است و هم‌اکنون دانشیار دانشکده مهندسی برق دانشگاه تفرش می‌باشد. زمینه‌های تحقیقاتی مورد علاقه ایشان عبارتند از: آنالیز و کنترل سیستم‌های با تاخیر زمانی، سیستم‌های چندعامله، سیستم‌های پیچیده و حملات سایبری.